

$$u(\xi) = u_1\phi_1(\xi) + u_2\phi_2(\xi) + u_3\phi_3(\xi)$$

Co zrobiliśmy : poprowadziliśmy przez każdy element wielomian interpolacyjny Lagrange'a.

Zabieg zakończył się sukcesem. Lepsza dokładność prawie tej samej złożoności obliczeniowej w porównaniu z liniowymi funkcjami kształtu. Rozmiar URL bez zmian, ale macierz układu – więcej niezerowych elementów.

Chcemy podnieść rząd wielomianu interpolacyjnego. Czy równomiernie rozłożenie większej ilości węzłów na elemencie jest dobrym pomysłem ? **NIE**

Błąd interpolacji Lagrange'a (przypomnienie):

x_0, x_1, \dots, x_n – $n+1$ różnych węzłów

$f(x)$ – gładka funkcja interpolowana (klasy co najmniej $n+1$)

x w przedziale interpolacji

$$\Pi_n(x) = \sum_{j=0}^n f(x_j) l_j(x) \qquad l_i(x) = \prod_{j=0; j \neq i}^n \frac{x - x_j}{x_i - x_j}$$

odchylenie funkcji interpolowanej od wielomianu Lagrange'a

$$E_n(x) = f(x) - \Pi_n(x) = \frac{f^{(n+1)}(\xi)}{(n+1)!} \prod_{j=0}^n (x - x_j)$$

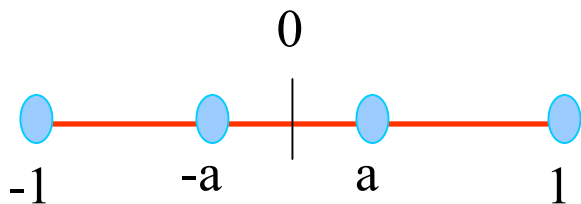
ξ należy do (najmniejszego) przedziału, w którym mieszczą się punkty x_i

norma nieskończoność: $\|g(x)\|_{\infty} = \max |g(x)|$ w przedziale (a,b)

$$E_n(x) = f(x) - \Pi_n(x) = \frac{f^{(n+1)}(\xi)}{(n+1)!} \prod_{j=0}^n (x - x_j)$$

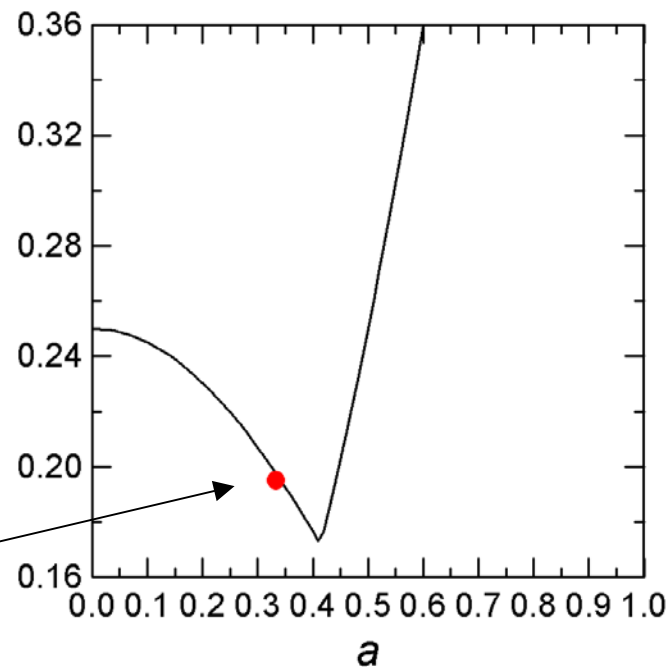
$$\|E_n(x)\|_{\infty} = \left| \frac{f^{(n+1)}(\xi)}{(n+1)!} \right| \times \left\| \prod_{j=0}^n (x - x_j) \right\|_{\infty}$$

4 punkty



norma nieskończoności
wielomianu węzłowego

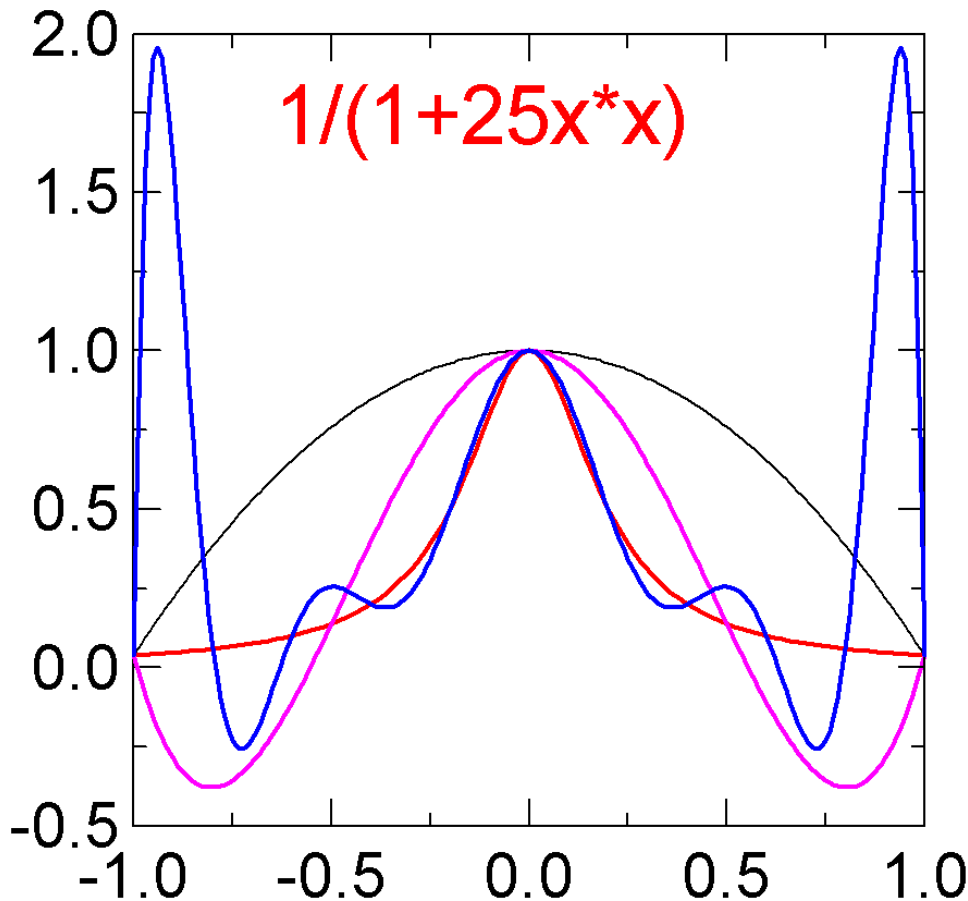
punkty rozłożone równomiernie



równomierne rozłożenie nie jest optymalne
dla celów aproksymacyjnych

Efekt Rungego

nieoptymalność interpolacji na równoodległych węzłach
robi się drastyczna dla wysokiego rzędu wielomianu interpolacyjnego



3 punkty

5 punktów

11 punktów

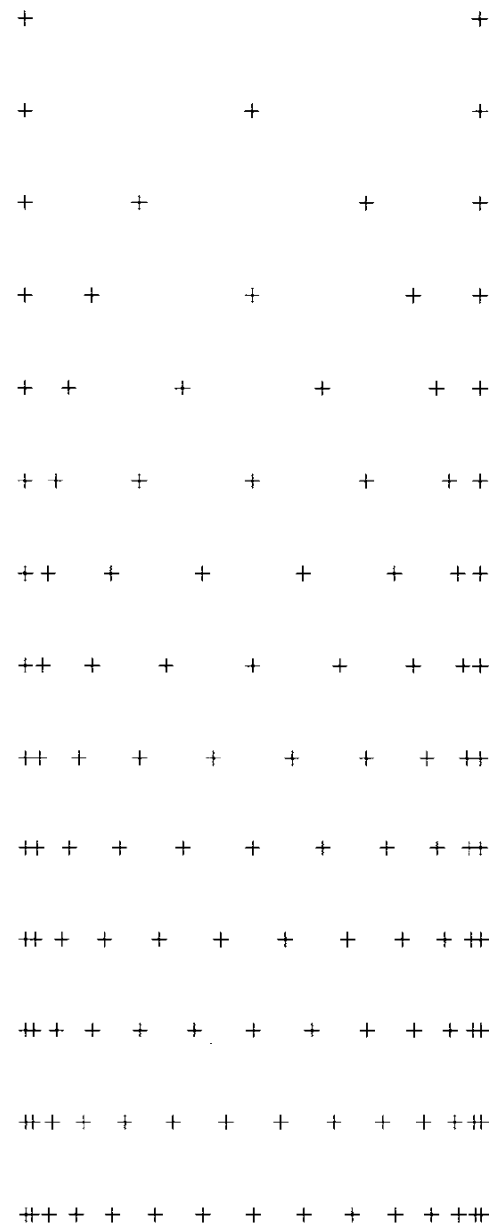
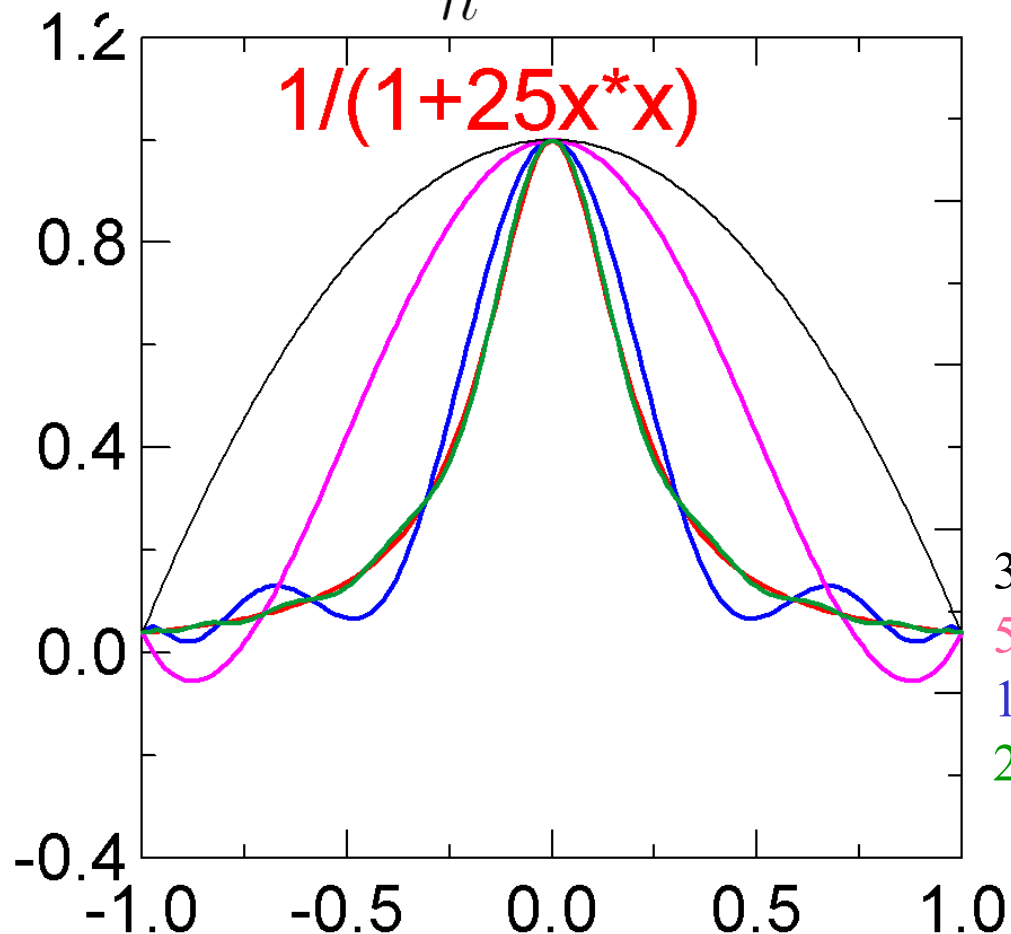
im wyższy stopień wielomianu
interpolacyjnego
tym gorsze przybliżenie
[większa norma nieskończoność
błędu]

- szczególnie przy
brzegach przedziału

$$E_n(x) = f(x) - \Pi_n(x) = \frac{f^{(n+1)}(\xi)}{(n+1)!} \prod_{j=0}^n (x - x_j)$$

Węzły Czebyszewa: bliskie optymalnym

$$x_j = \cos\left(\frac{\pi j}{n}\right), j = 0, 1, \dots, n$$



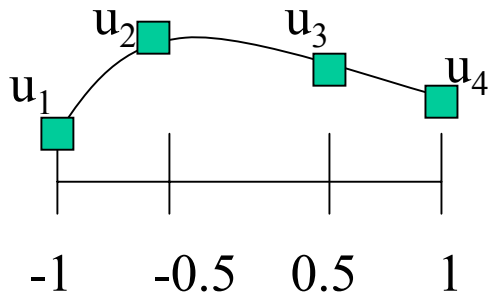
[w.czebyszewa: węzły wielomianów ortogonalnych
na przedziale $(-1,1)$ z wagą $1/\sqrt{1-x^2}$]

[! waga gęsto punkty przy brzegu, błąd nie urośnie]

więcej węzłów przy brzegach

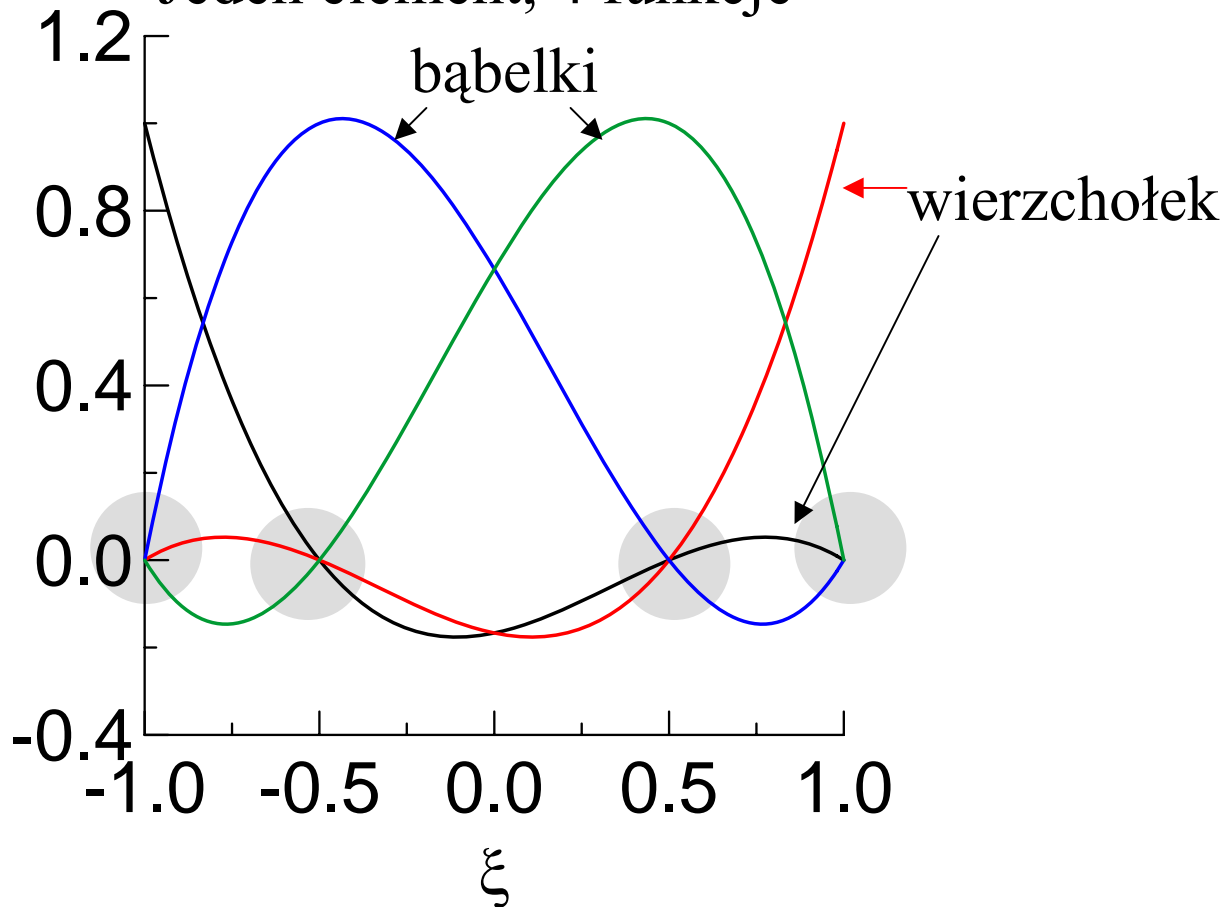
Kubiczne funkcje kształtu Lagrange'a z węzłami Czebyszewa

$$\cos(\pi j/3), j=0,1,2,3, : -1, -0.5, 0.5, 1$$



$$u(\xi) = \underline{u_1 f_1(\xi)} + \underline{u_2 f_2(\xi)} + \underline{u_3 f_3(\xi)} + \underline{u_4 f_4(\xi)}$$

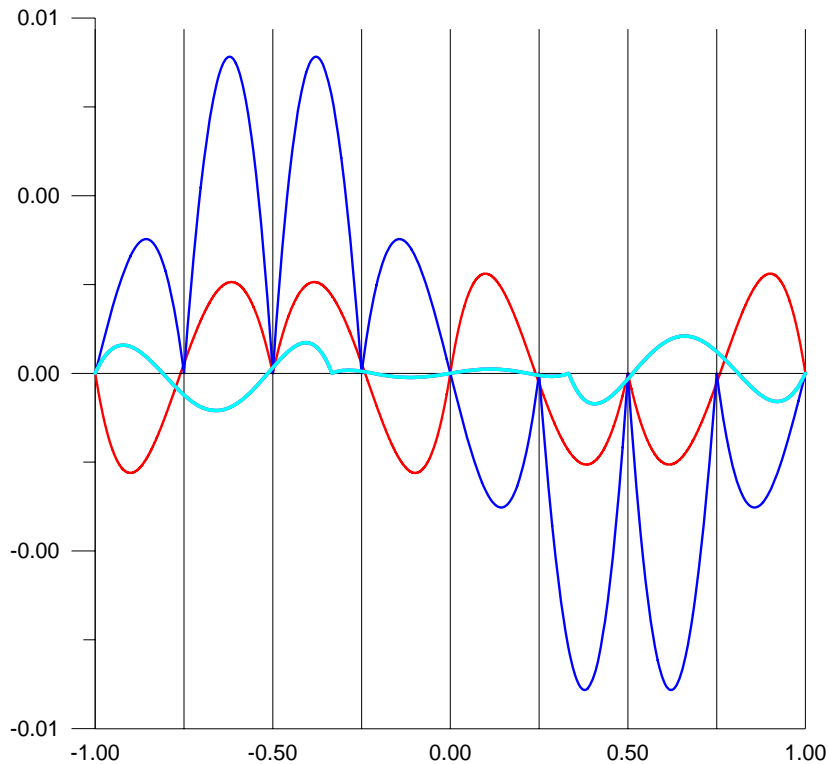
Jeden element, 4 funkcje



$$\frac{d^2 u}{dx^2} = -\sin(\pi x)$$

Wyniki dla problemu modelowego

błąd:



funkcje odcinkami liniowe 9 węzłów (8 elementów)

funkcje kwadratowe 9 węzłów (4 elementy)

funkcje kubiczne 10 węzłów (3 elementy)

zwiększenie stopnia wielomianów kształtu
o jeden: max. odchylenie
wyniku od dokładnego zmniejsza się 3 krotnie

MES używa jako funkcji bazowych określonych na elemencie wielomianów potrafimy je numerycznie różniczkować i całkować dokładnie

różniczkowanie:

		C=1/2	C=-1/6	
$u(x)$	$u'(x)$	$\frac{u(x + \Delta x) - u(x)}{\Delta x} + O(\Delta x)$	$\frac{u(x + \Delta x) - u(x - \Delta x)}{2\Delta x} + O(\Delta x^2)$	$\frac{(8u(x + \Delta x) - 8u(x - \Delta x) + u(x - 2\Delta x) - u(x + 2\Delta x))/(12\Delta x) + O(\Delta x^4)}$
x	1	1	1	1
x^2	2x	$2x + \Delta x$	2x	2x
x^3	$3x^2$	$3x^2 + 3x\Delta x + \Delta x^2$	$3x^2 + \Delta x^2$	$3x^2$
x^4	$4x^3$	$4x^3 + 6x^2\Delta x + 4x\Delta x^2 + \Delta x^3$	$4x^3 + 4x\Delta x^2$	$4x^3$
x^5	$5x^4$	$5x^4 + 10x^3\Delta x + 10x^2\Delta x^2 + 5x\Delta x^3 + \Delta x^4$	$5x^4 + 10x^2\Delta x^2 + \Delta x^4$	$5x^4 - 4\Delta x^4$

a całkowanie ... Gaussa

kwadratury Gaussa-Legendra do całkowania elementów macierzowych

Gauss= najbardziej efektywna metoda dla MES
funkcje kształtu są wielomianami(!), a Gauss całkuje je dokładnie

$$\int_{-1}^1 f(x) dx = \sum_{i=1}^n w_i f(x_i) + E$$

wazona suma funkcji podcałkowej
w wybranych punktach x_i

Chcemy wybrać tak wagi i punkty aby kwadratura była dokładna dla wielomianu jak najwyższego stopnia (funkcje kształtu będą wielomianami)

Na pewno uda nam się skonstruować kwadraturę dokładną dla wielomianu stopnia $n-1$

$$\int_{-1}^1 f(x)dx = \sum_{i=1}^n w_i f(x_i) + E \quad \Bigg|$$

Wybieramy wagi i punkty Gaussa, tak aby dokładnie scałkować wielomian stopnia $2n-1$

[$2n$ współczynników, $2n$ wag i punktów]

Przykład: $n=2$ – dokładnie scałkujemy wielomian stopnia 3

$$\int_{-1}^1 f(x)dx = w_1 \times f(x_1) + w_2 \times f(x_2)$$

$$f(x) = a + bx + cx^2 + dx^3$$

$$\int_{-1}^1 f(x)dx = a \int_{-1}^1 dx + b \int_{-1}^1 x dx + c \int_{-1}^1 x^2 dx + d \int_{-1}^1 x^3 dx$$

$$f(x)=a+bx+cx^2+dx^3$$

$$\int_{-1}^1 f(x)dx = a \int_{-1}^1 dx + b \int_{-1}^1 xdx + c \int_{-1}^1 x^2dx + d \int_{-1}^1 x^3dx$$

a, b, c, d – dowolne. Każda z powyższych całek musi zostać policzona dokładnie.
wstawiamy po kolei 1 za jeden z a, b, c, d =reszta 0.

$$\left. \begin{aligned} \int_{-1}^1 dx &= 2 = w_1 \times 1 + w_2 \times 1 \\ \int_{-1}^1 xdx &= 0 = w_1 \times x_1 + w_2 \times x_2 \\ \int_{-1}^1 x^2dx &= \frac{2}{3} = w_1 \times x_1^2 + w_2 \times x_2^2 \\ \int_{-1}^1 x^3dx &= 0 = w_1 \times x_1^3 + w_2 \times x_2^3 \end{aligned} \right|$$

$$\int_0^1 f(x)dx = w_1 f(x_1) + w_2 f(x_2)$$

→ [kwadratura ma działać również dla $f(-x)$]
 x_1 oraz x_2 będą rozłożone
 symetrycznie względem 0 ($x_1 = -x_2$)
 wtedy z (2) $w_1 = w_2 = 1$ (z 1)
 (4) - zawsze spełnione

$$2/3 = x_1^2 + x_2^2 \text{ z (3)}$$

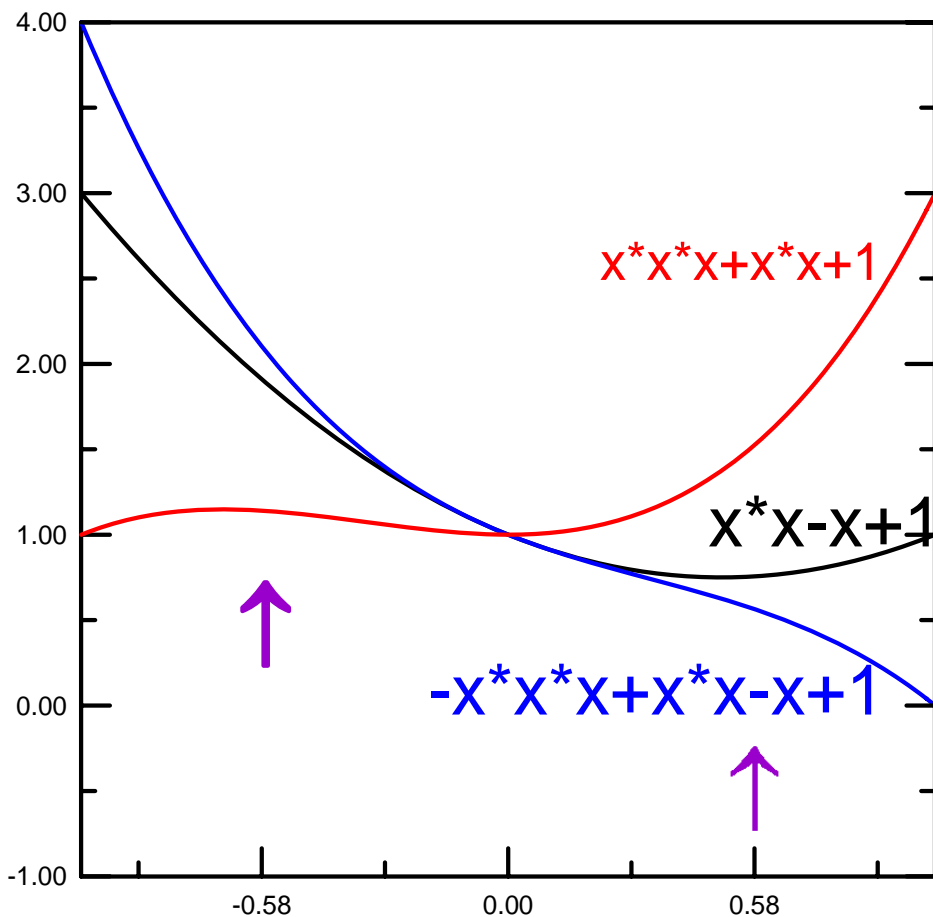
$$x_2 = \pm(1/3)^{1/2}$$

$$x_1 = -x_2$$

kwadratura Gaussa dokładna

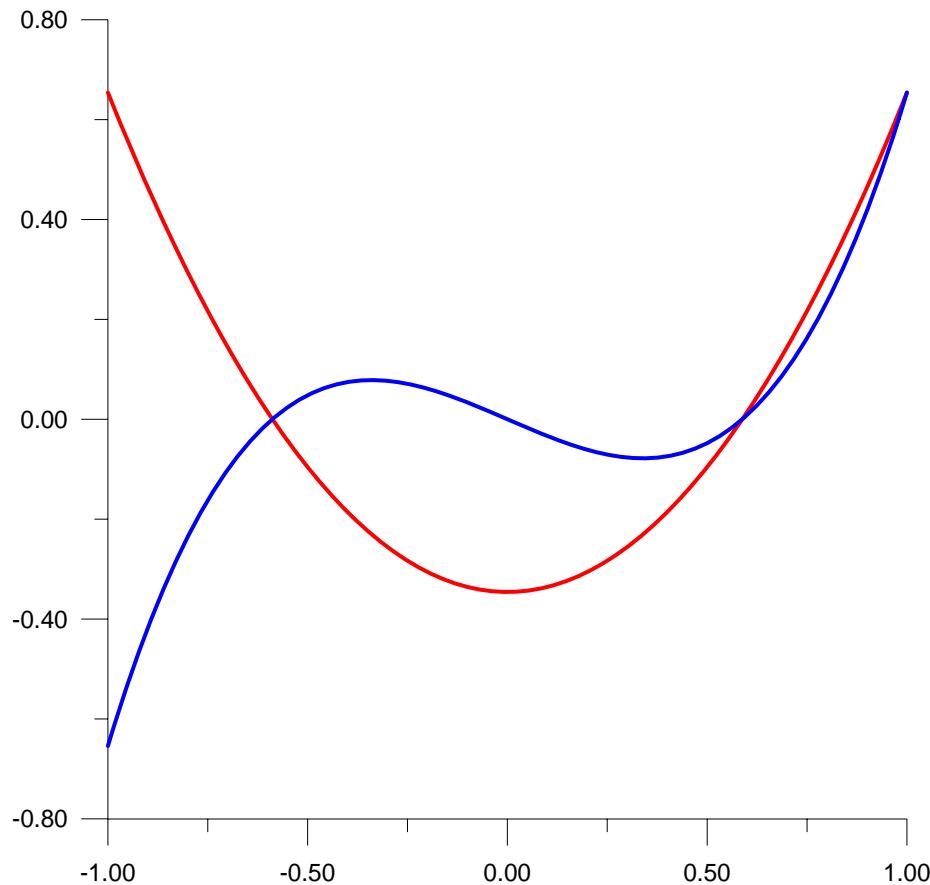
dla wielomianów stopnia 3:

$$w_1=w_2=1, \quad x_1=(1/3)^{1/2} \quad x_2=-(1/3)^{1/2}$$



wystarczy
dodać wartości
funkcji w dwóch
punktach aby uzyskać
dokładną całkę
dla wielu różnych wielomianów

w konsekwencji: jeśli dwa wielomiany stopnia <4
przyjmują te same wartości w punktach Gaussa
to ich całki po przedziale $-1,1$ są również identyczne: np

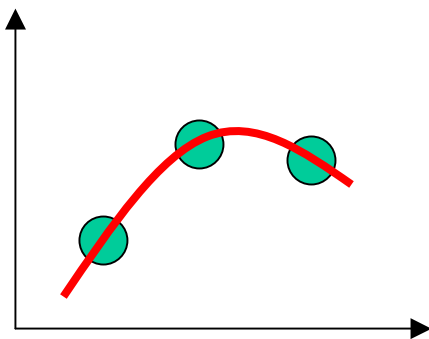


$$x_g = (1/3)^{1/2}$$

$$x(x-x_g)(x+x_g)$$

$$(x-x_g)(x+x_g)$$

Próbkując funkcję w n dowolnych punktach: na pewno uda się skonstruować kwadraturę dokładną dla wielomianu stopnia $n-1$



$$\int_{-1}^1 f(x) dx = \sum_{i=1}^n w_i f(x_i) + E$$

Na przedziale $-1,1$ wybieramy (dowolnie) n – punktów i prowadzimy przez nie wielomian interpolacyjny Lagrange’a funkcji $f(x)$

$$y(x) = \sum_{i=1}^n f(x_i) l_i(x)$$

$$l_i(x) = \prod_{j=1, j \neq i}^n \frac{x - x_j}{x_i - x_j}$$

Jeśli $f(x)$ – wielomian stopnia nie większego niż $n-1$

$f(x)=y(x)$ (interpolując wielomian dostaniemy ten sam wielomian)

$$w_i = \int_{-1}^1 l_i(x) dx$$

na wyborze punktów x_i można
zyskać dokładność dla n stopni
więcej

Dalej o wyborze punktów Gaussa: Tw. Jakobiego:

$$\text{kwadratura} \quad \int_{-1}^1 f(x) dx = \sum_{i=1}^n w_i f(x_i) + E$$

oparta na wielomianie interpolacyjnym Lagrange'a

$$y(x) = \sum_{i=1}^n f(x_i) l_i(x) \quad l_i(x) = \prod_{j=1, j \neq i}^n \frac{x - x_j}{x_i - x_j} \quad w_i = \int_{-1}^1 l_i(x) dx$$

jest dokładna dla wielomianów stopnia $2n-1$, jeśli punkty x_i wybrane tak, że wielomian stopnia n

$$z(x) = \prod_{i=1}^n (x - x_i) \quad \left| \begin{array}{l} \text{jest ortogonalny do wszystkich wielomianów} \\ \text{stopnia } (n-1) \end{array} \right.$$

zobaczmy, że tak jest:

$$\int_{-1}^1 z(x) p_{n-1}(x) dx = 0 \quad \longrightarrow \quad \int_{-1}^1 f_{2n-1}(x) dx = \sum_{i=1}^n w_i f_{2n-1}(x_i)$$

dla dowolnego wielomianu stopnia n i dowolnej liczby r
istnieje taki wielomian o stopniu o jeden niższym i taka liczba R , że:

$$P_n(x) = (x-r) P_{n-1}(x) + R$$

przykład:

$$1+x+x^2 = (x-2)(ax+b)+c = c-2b+(b-2a)x+ax^2 - \text{wyliczymy sobie } a, b, \text{ oraz } c$$

$$z(x) = \prod_{i=1}^n (x - x_i) \quad \Bigg|$$


$$f_{2n-1}(x) = (x-x_1) f_{2n-2}(x) + r_0$$

$$f_{2n-1}(x) = (x-x_1) [(x-x_2) f_{2n-3}(x) + r_1] + r_0 = (x-x_1)(x-x_2) f_{2n-3}(x) + \underline{r_0 + r_1(x-x_1)}$$

$$q_1(x)$$

$$\underline{f_{2n-1}(x) = z_n(x) f_{n-1}(x) + q_{n-1}(x)}$$

$$f_{2n-1}(x) = z_n(x)f_{n-1}(x) + q_{n-1}(x)$$

$$\int_{-1}^1 f_{2n-1}(x) dx = \int_{-1}^1 q_{n-1}(x) dx + \int_{-1}^1 \cancel{z_n(x)f_{n-1}(x) dx}$$


całka oparta o przepis interpolacyjny na n punktach
będzie dokładna dla każdego wielomianu stopnia $n-1$

Problem: jak wybrać wielomian stopnia n $z(x)$
tak aby ortogonalny dla każdego wiel. stopnia $n-1$

Problem: jak wybrać $z(x)$ aby ortogonalny dla każdego wiel. stopnia $n-1$

$$z(x) = \prod_{i=1}^n (x - x_i) \quad \Bigg|$$

wybrać zera znaczy wybrać wielomian (co do stałej multiplikatywnej)

każdy wielomian można zapisać w postaci sfaktoryzowanej

$$P_n(x) = a \prod_{i=1}^n (x - x_i) = az_n(x) \quad \Bigg|$$

wielomian Legendre'a stopnia n

-ortogonalny na przedziale $[-1,1]$ do wszystkich wielomianów stopnia $n-1$.

-zera tego wielomianu wyznaczają optymalne punkty Gaussa

Ortogonalizacja Grama-Schmidta

Przedział $[-1,1]$.

Mamy zbiór niezależnych liniowo funkcji $h_0=1$, $h_1=x$, $h_2=x^2$, $h_3=x^3$, ...

które nie są ortogonalne [iloczyn skalarny określony z funkcją wagową $w(x)$].

Chcemy skonstruować bazę wielomianów ortogonalnych.

funkcje bazowe dla tego przedziału, z wagą $w(x)=1$ są to wielomiany Legendre'a.

$$u_0 = 1$$

$$u_1 = a + x$$

Jakie a aby $(u_0, u_1) = 0$?: odp.: $a=0$

$$u_1 = x$$

$$u_2 = x^2 + bx + c$$

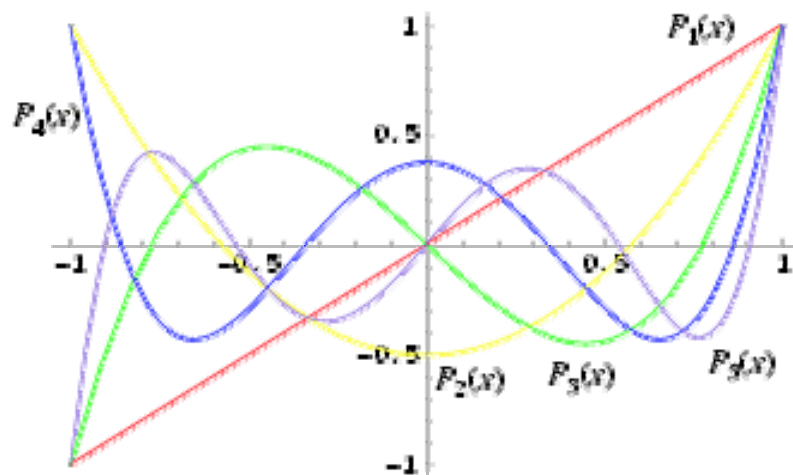
$$(u_2, u_0) = 2/3 + 2c = 0$$

$$(u_2, u_1) = 0 \rightarrow b = 0$$

$$u_2 = (x^2 - 1/3)$$

W literaturze wielomiany Legendre'a normalizowane tak aby $P_k(1)=1$: $1, x, 3/2 (x^2 - 1/3)$

itd.



kwadratury Gaussa-Legendra

W bazie P_0, P_1, \dots, P_{n-1} można opisać wszystkie wielomiany stopnia $n-1$,
 P_n ortogonalny do wszystkich wektorów bazy,
więc i do wszystkich wielomianów stopnia $n-1$

Punkty Gaussa zapewniające maksymalną dokładność
(do wielomianu stopnia $2n-1$):
zera n -tego wielomianu Legendra

$$P_2 = \frac{3}{2}\left(x^2 - \frac{1}{3}\right) \quad \rightarrow \text{Dla } 2n-1=3 \quad [\text{punkty Gaussa tam gdzie wcześniej wyliczyliśmy}]$$

$$l_1 = (x + 1/\sqrt{3}) / (2/\sqrt{3}). \quad \text{całka z niego od } -1 \text{ do } 1 = 1$$

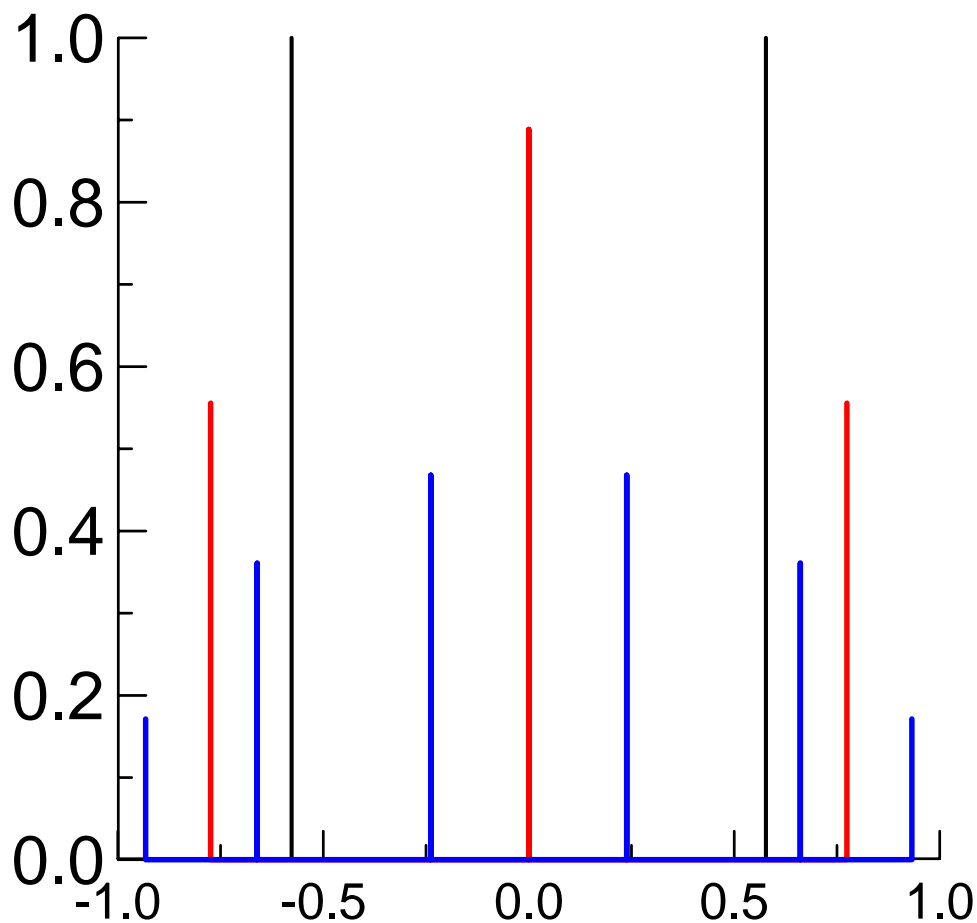
$$l_i(x) = \prod_{j=1, j \neq i}^n \frac{x - x_j}{x_i - x_j} \quad \left| \quad w_i = \int_{-1}^1 l_i(x) dx \right.$$

Wagi i punkty Gaussa

Dokładne do wielomianów stopnia 3

stopnia 5

stopnia 11



$$\int_{-1}^1 f(x) dx = \sum_{i=1}^n w_i f(x_i) + E$$

MES z liniowymi funkcjami kształtu:
 przykład zastosowania nr. 2:
 równanie oscylatora harmonicznego

$$-\frac{1}{2} \frac{d^2 u_n(x)}{dx^2} + \frac{1}{2} x^2 u_n(x) = E_n u_n(x)$$

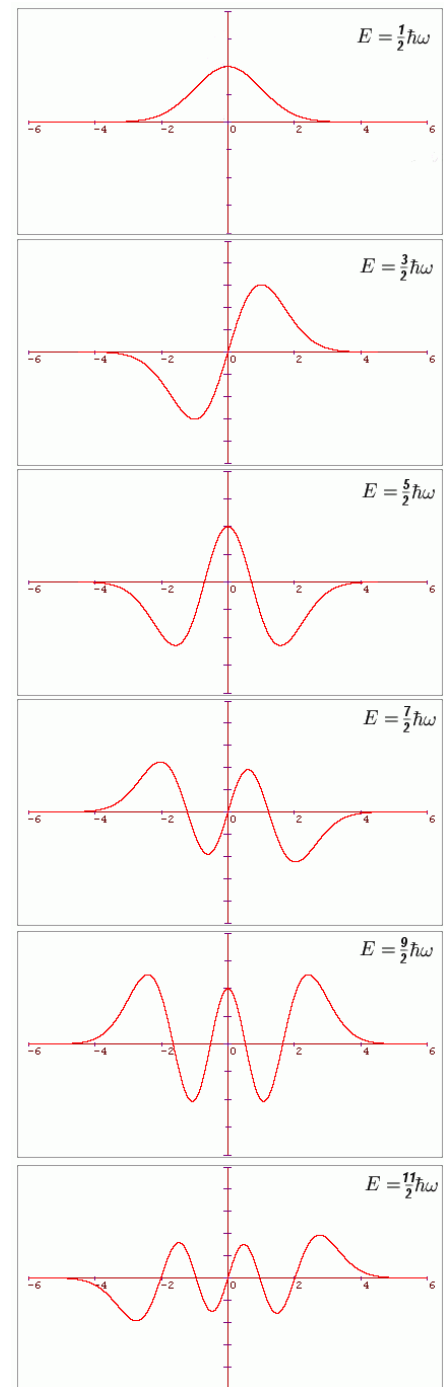
niewiadome: funkcja własna $u_n(x)$
 oraz wartość własna E_n

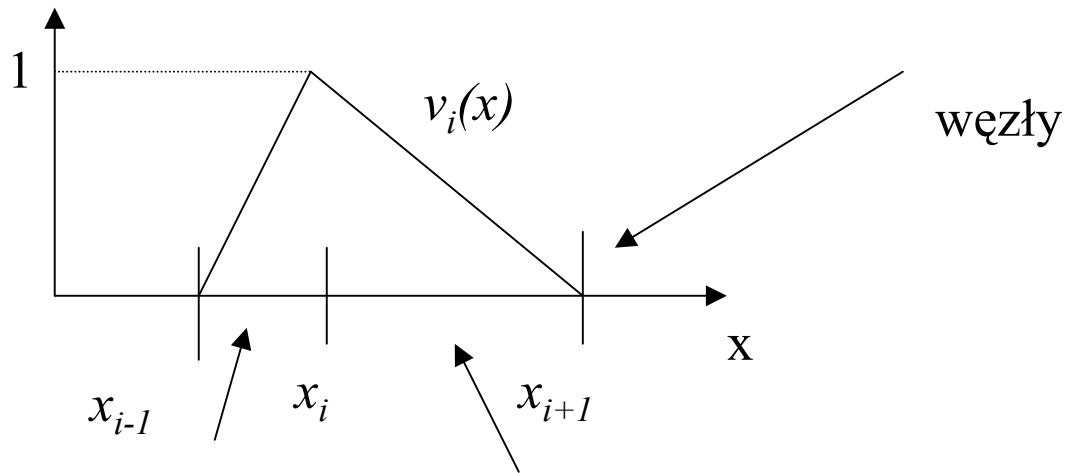
$$E_n = 1/2 + n$$

$$u_n = \exp(-x^2/2) H_n(x)$$

$$H_n = (-1)^n \exp(x^2) \frac{d^n}{dx^n} \exp(-x^2)$$

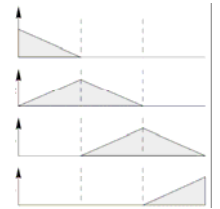
rysunek z Wikipedii





element K_i długości
 $\delta_i = x_i - x_{i-1}$

element K_{i+1} długości
 $\delta_{i+1} = x_{i+1} - x_i$



$$u_n = \sum_i c_i v_i(x) \quad \text{baza funkcyjna}$$

$$\left. -\frac{1}{2} \frac{d^2 u_n(x)}{dx^2} + \frac{1}{2} x^2 u_n(x) = E_n u_n(x) \right| \times v_j(x) \int dx$$

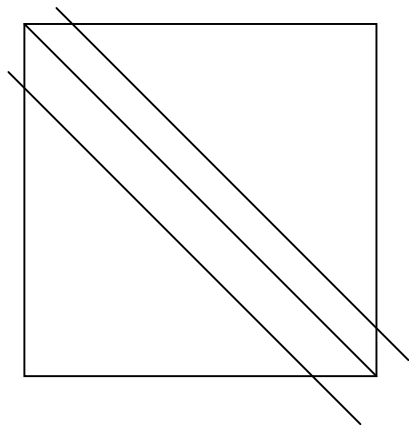
$$\sum_i \frac{1}{2} \left(\int dx \frac{dv_j(x)}{dx} \frac{dv_i(x)}{dx} + x^2 v_i(x) v_j(x) \right) c_i = E \sum_i \int dx v_j(x) v_i(x) c_i$$

$$\sum_i \frac{1}{2} \left(\int dx \frac{dv_j(x)}{dx} \frac{dv_i(x)}{dx} + x^2 v_i(x) v_j(x) \right) c_i = E \sum_i \int dx v_j(x) v_i(x) c_i$$

$$\sum_i H_{ji} c_i = E \sum_i O_{ji} c_i$$

całki się liczy analitycznie
[wielomiany stopnia najwyżej 4]

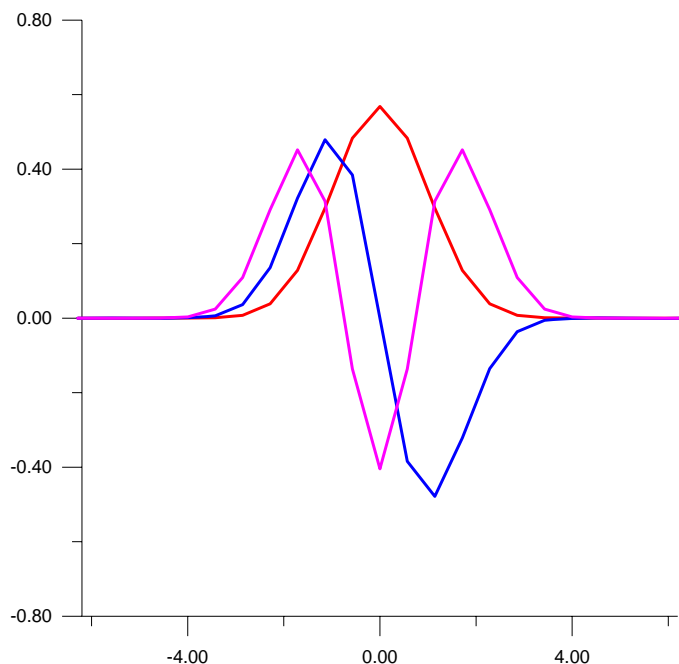
$$\mathbf{Hc} = E \mathbf{O} \mathbf{c}$$



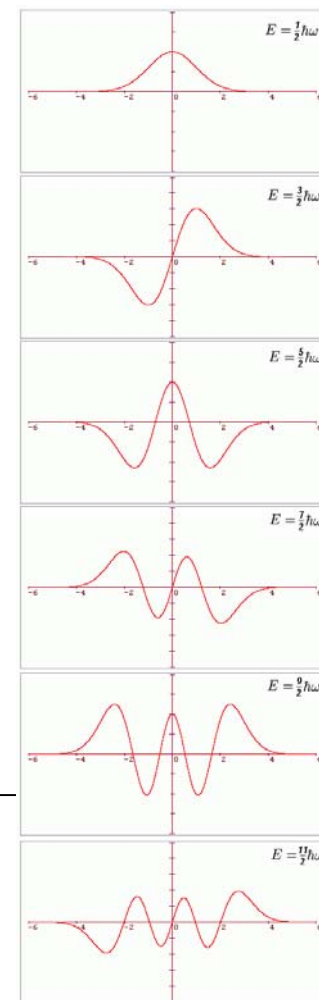
tzw. uogólnione macierzowe
równanie własne
[„zwykłe” równanie własne
gdy : $\mathbf{O} = \mathbf{1}$]

macierze \mathbf{H}, \mathbf{O} – trójkątniowa, symetryczna
nasz operator = samosprężony (hermitowski)

równomierny rozkład 21 węzłów (elementy równej długości) siatka od -6.2 do 6.2



E dok	E num	błąd
5.5	6.048	0.548
4.5	4.878	0.378
3.5	3.736	0.235
2.5	2.625	0.125
1.5	1.549	0.049
0.5	0.510	0.01



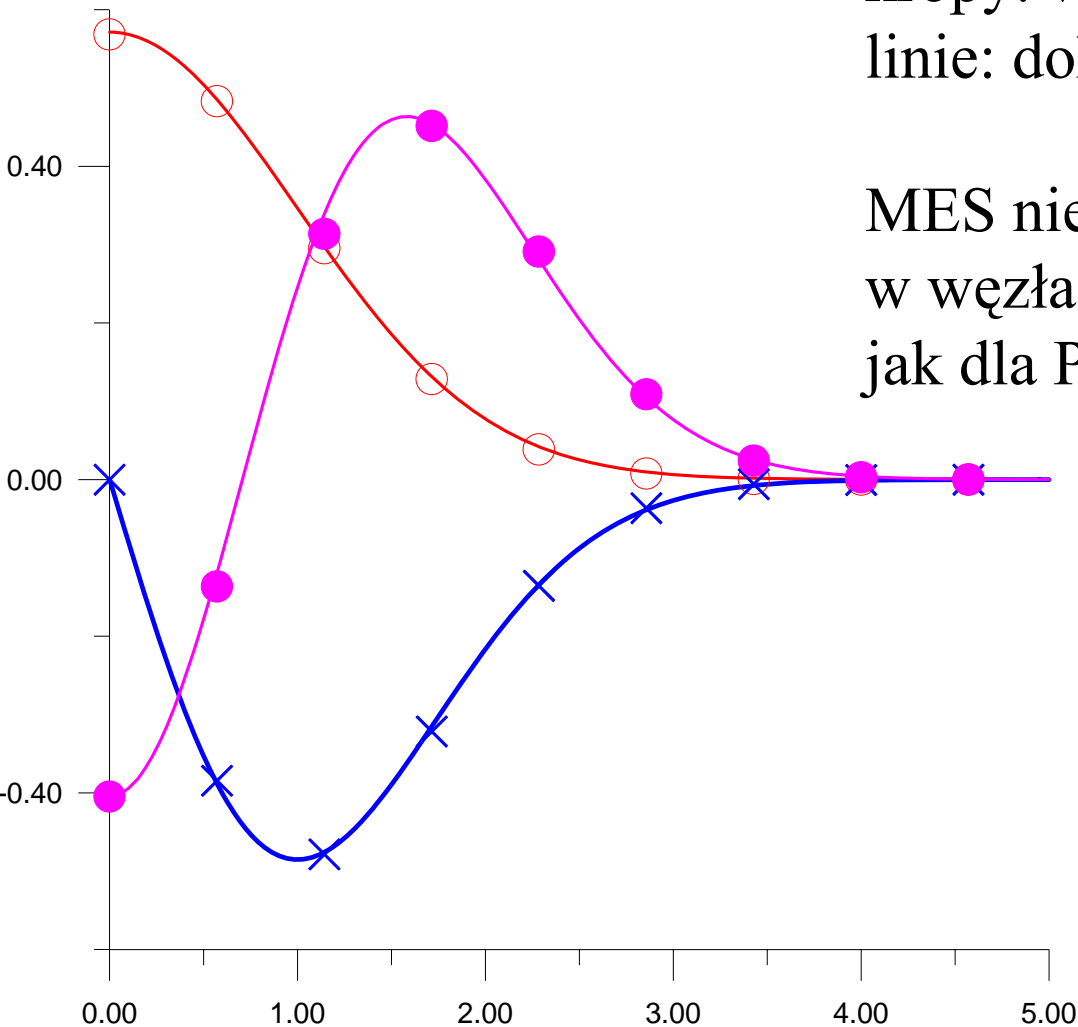
MRS: przy tej samej liczbie węzłów

względna przewaga MES rośnie
dla stanów o wyższej energii

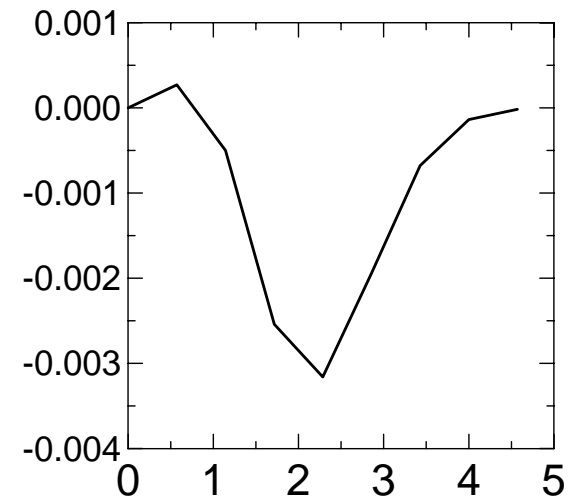
E num	błąd
4.772	-0.728
4.027	-0.473
3.220	-0.280
2.358	-0.172
1.446	-0.054
0.489	-0.011

kropy: wartości z MES
linie: dokładne funkcje własne

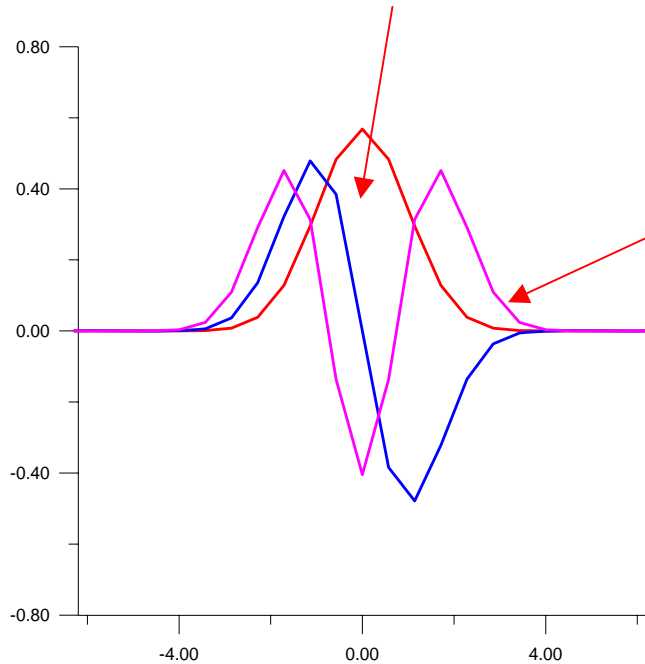
MES nie jest ściśle dokładna
w węzłach
jak dla Poissona, ale niezła



różnica dokładny=MES
dla wektora własnego
o najniższej wartości własnej

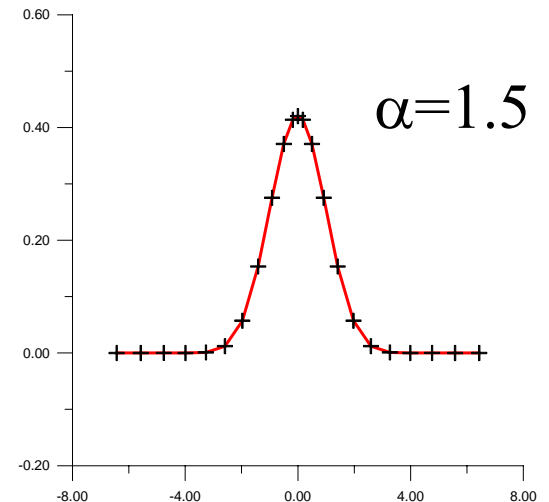
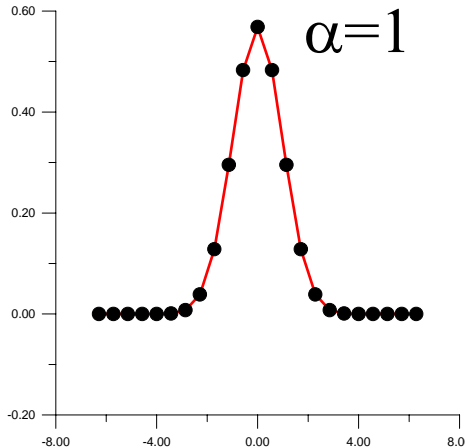


przydałaby się siatka nierównomierna:
więcej węzłów tam gdzie wektory własne
przyjmują duże wartości, mniej na ogonach



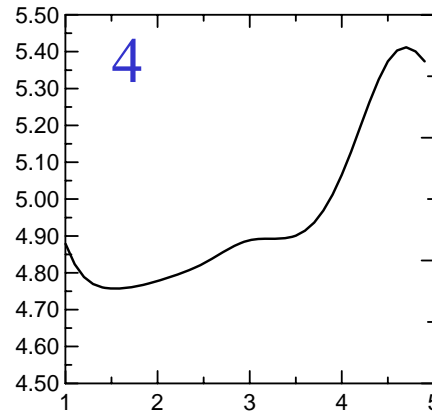
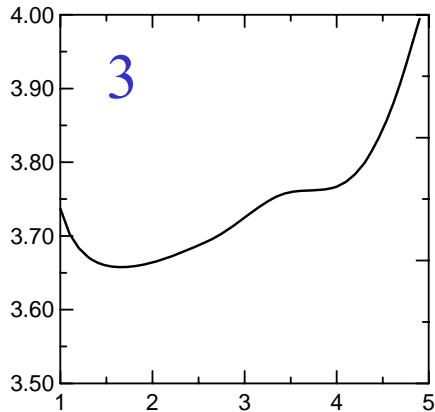
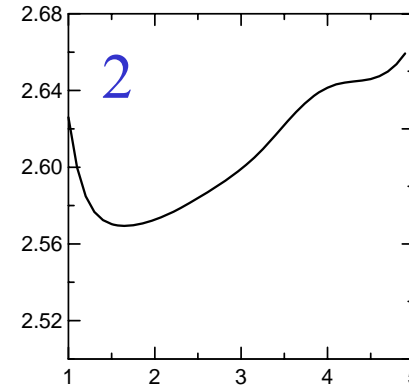
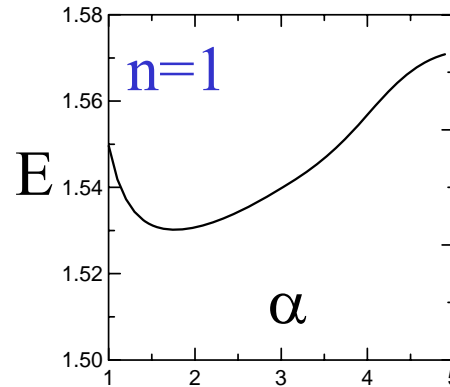
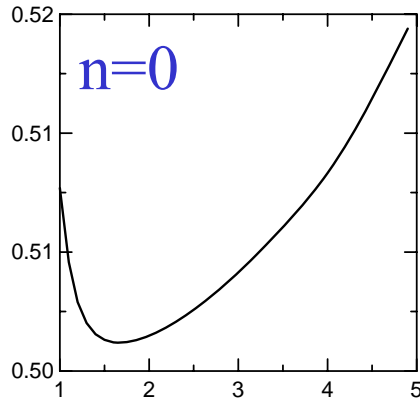
n=21 punktów

$$x_k = 6 \left(\frac{|k - n/2 - 1|}{n/2} \right)^\alpha$$

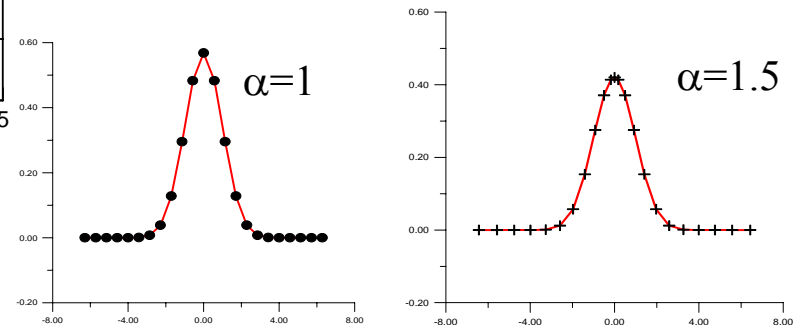


oscylator harmoniczny: optymalizacja rozkładu elementów

$$E_n = n + 1/2$$



dla wszystkich stanów
optymalny jest wykładnik
 $\alpha \approx 1.5$



Metoda różnic skończonych, siatka nierównomierna

Iloraz różnicowy drugiej pochodnej dla nierównej siatki:



$$\left. \begin{aligned} u(x + \Delta p) &= u(x) + \Delta p \frac{du}{dx} + \frac{\Delta p^2}{2} \frac{d^2u}{dx^2} + \frac{\Delta p^3}{6} \frac{d^3u}{dx^3} + O(\Delta p^4) \\ u(x - \Delta l) &= u(x) - \Delta l \frac{du}{dx} + \frac{\Delta l^2}{2} \frac{d^2u}{dx^2} - \frac{\Delta l^3}{6} \frac{d^3u}{dx^3} + O(\Delta l^4) \end{aligned} \right| \begin{array}{l} \times \Delta l \\ \times \Delta p \end{array} \Bigg|_+$$

Wzór trójpunktowy

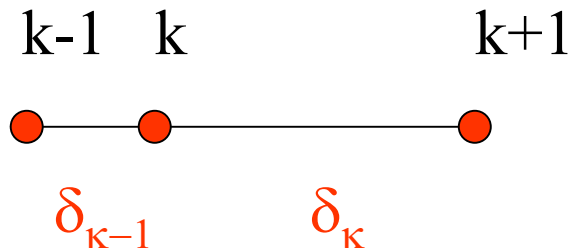
$$\frac{d^2u}{dx^2} = 2 \frac{u(x - \Delta l)\Delta p + u(x + \Delta p)\Delta l - (\Delta p + \Delta l)u(x)}{\Delta l\Delta p(\Delta l + \Delta p)} + O(\Delta l - \Delta p)$$



W MES: nie ma problemu
bo pochodne i całki liczymy dokładnie!

tracimy jeden rząd
dokładności w porównaniu
z siatką równomierną
Problem rozwiązany
w metodzie elementów
skończonych.

$$\frac{d^2 u}{dx^2} = 2 \frac{u(x - \Delta l) \Delta p + u(x + \Delta p) \Delta l - (\Delta p + \Delta l) u(x)}{\Delta l \Delta p (\Delta l + \Delta p)} + O(\Delta l - \Delta p)$$



$$-\left(\frac{1}{\delta_k(\delta_k + \delta_{k-1})}\right) u_{k-1} + \left(\frac{1}{\delta_k \delta_{k-1}} + \frac{1}{2} x_k^2\right) u_k - \left(\frac{1}{\delta_{k-1}(\delta_k + \delta_{k-1})}\right) u_{k+1} = E u_k$$

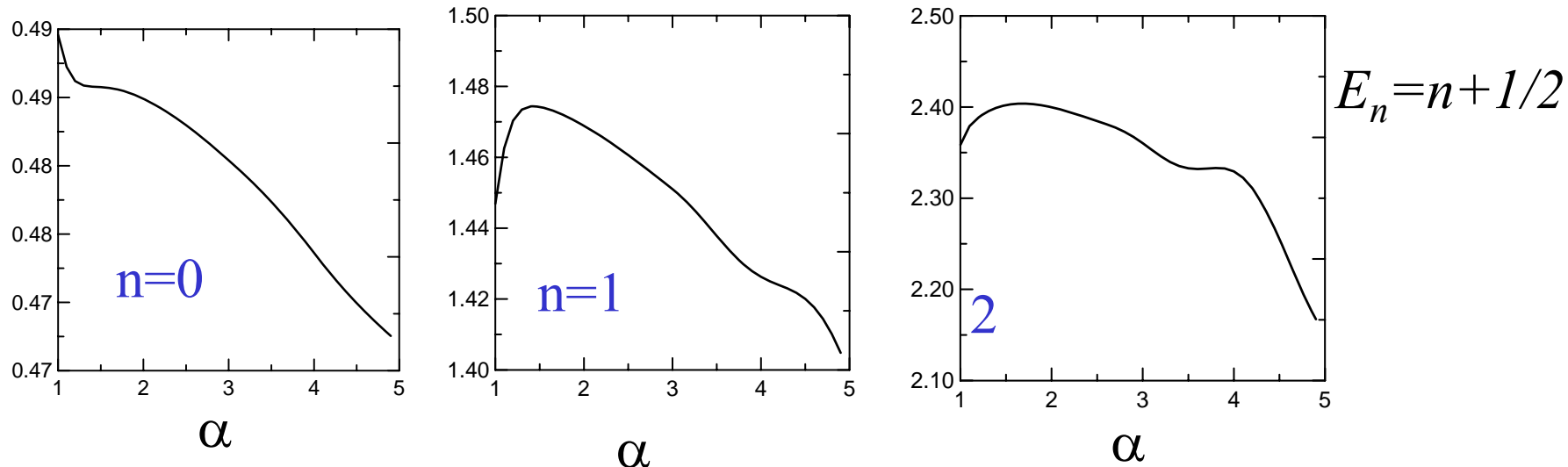
[różnica z MES: potencjał tylko do diagonali, $\mathbf{O}=1$]

Uwaga: metoda produkuje niesymetryczną macierz \mathbf{H} :

$$H_{k,k-1} = -\frac{1}{\delta_k(\delta_k + \delta_{k-1})} \neq H_{k-1,k} = -\frac{1}{\delta_{k-1}(\delta_k + \delta_{k-1})}$$

komplikacja, np. dla niesymetrycznych macierzy nie ma gwarancji, że wartości własne będą rzeczywiste, a wektory własne wzajemnie ortogonalne

Metoda różnic skończonych, siatka nierównomierna



wartości własne mniejsze niż dokładne.

dla $n=0$, optymalna jest siatka równomierna.

Pewna poprawa (wzrost) jest dla wzbudzonych.

Ale (!!) wiemy, że wzrost to poprawa tylko dlatego, że rozwiązanie dokładne jest znane.

W typowej sytuacji - nie znamy rozwiązania dokładnego.

Nie będziemy wiedzieli czy mamy do czynienia z poprawą czy pogorszeniem.

w MES: przeciwnie, metoda ma charakter wariacyjny!

Lepsza siatka znaczy mniejsza wartość własna!

Parametr dla optymalizacji siatki!

równanie eliptyczne a różniczkowe równanie własne w metodzie elementów skończonych

$$Lu=f \quad \text{eliptyczne}$$

1D: np. $L=-d^2/dx^2$

$$Hu=Eu \quad \text{własne}$$

np. $H=-d^2/dx^2+x^2$

rozwiązanie poszukiwane w bazie funkcyjnej

funkcja

próbna (*trial*)

$$u(x) = \sum_{i=1}^n c_i v_i(x)$$

(wstawić rozwiązanie próbne, wyrzutować na wektory bazy)

$$\sum_{i=1}^n (v_j, Lv_i) c_i = (v_j, f)$$

(układ równań
algebraicznych)

$$\mathbf{Lc=f}$$

$$\sum_{i=1}^n (v_j, H v_i) c_i = E \sum_{i=1}^n (v_j, v_i) c_i$$

(uogólniony macierzowy
problem własny)

$$\mathbf{Hc=EOc}$$

wariacyjny charakter metody dla równania eliptycznego i własnego

MES (i Galerkin w ogóle) równoważna metodzie Reyleigha-Ritza, gdy ta stosowalna

$$Lu=f$$

$$\sum_{i=1}^n (v_j, Lv_i) c_i = (v_j, f)$$

$$Hu=Eu$$

$$\sum_{i=1}^n (v_j, Hv_i) c_i = E \sum_{i=1}^n (v_j, v_i) c_i$$

wartościom c_i , które spełniają równania algebraiczne odpowiada minimum funkcjonału:

$$a = \int \left(\frac{1}{2} u Lu - fu \right)$$

$$e = \frac{\int (uHu)}{\int uu}$$

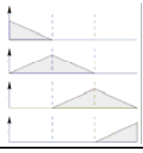
dokładne rozwiązania równania oscylatora są nie tylko ciągłe,
ale również ciągłe z pochodną

baza Lagrange'a: gwarantuje tylko ciągłość funkcji na granicy elementów
ciągłość pochodnej nie jest gwarantowana

jeśli zainwestujemy w funkcje kształtu tak aby zapewnić ciągłość z pochodną
- niższe wartości własne wyjść powinny

kiedy ciągłość pochodnej ważna

- 1) dla równania Poissona: nieciągłe pole elektryczne (pochodna potencjału)
gdy rozkład gęstości ładunku o formie delty Diraca
- 2) równanie przewodnictwa cieplnego: strumień ciepła proporcjonalny
do gradientu temperatury = gdy ten nieciągły na granicy elementów
stan nie może być ustalony

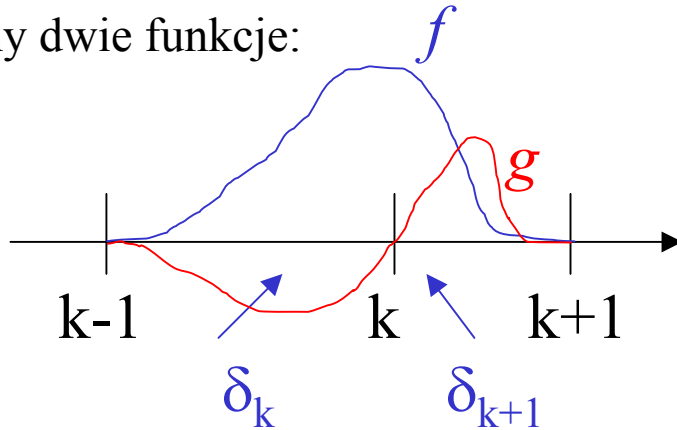


zapewniały ciągłość funkcji: 2 nie znikające f na element, jedna na węzeł

MES: baza funkcji ciągłych z pochodnymi na granicy elementów

z węzłem k

wiążemy dwie funkcje:



f przenosi ciągłą wartość funkcji

przez granice elementów:

f : 1 w węźle k , 0 w sąsiednich

f' zero we wszystkich węzłach

g przenosi ciągłą pochodną

przez dwa elementy:

g' : 1 w węźle k , 0 w sąsiednich

g zero we wszystkich węzłach

$$u = \sum_i \alpha_i f_i(x) + \sum_i \beta_i g_i(x)$$

parametry węzłowe:

4 na element – wartości i pochodne
na obydwu końcach przedziału

4 funkcje kształtu na element
po 2 funkcje na węzeł

$$u = \sum_i \alpha_i f_i(x) + \sum_i \beta_i g_i(x)$$

$$f_l(x_k) = \delta_{kl} \quad \left| \quad g_l(x_k) = 0\right.$$

$$f'_l(x_k) = 0 \quad \quad g'_l(x_k) = \delta_{kl}$$

$$u(x_k) = \alpha_k$$

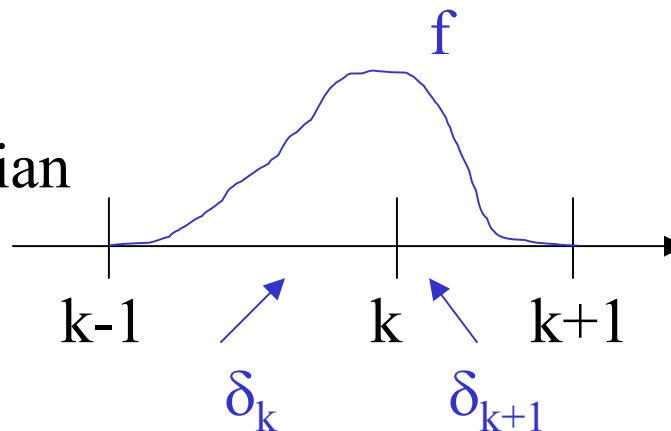
$$u'(x_k) = \beta_k \quad \left| \right.$$

współczynniki rozwinięcia (niewiadome)
: wartości funkcji i pochodnej w węzłach

Metoda ES da nam ekstra
oszacowanie pochodnych rozwiązania

parametry węzłowe: tutaj u i u'

konstruujemy funkcję f_k :
stopnia musi trzeciego wielomian



$$f_k = \left\{ \begin{array}{ll} a_k(x - x_k)^3 + b_k(x - x_k)^2 + c_k(x - x_k) + d_k & x \in [x_{k-1}, x_k] \\ A_k(x - x_k)^3 + B_k(x - x_k)^2 + C_k(x - x_k) + D_k & x \in [x_k, x_{k+1}] \\ 0 & x \text{ w dopełnieniu} \end{array} \right|$$

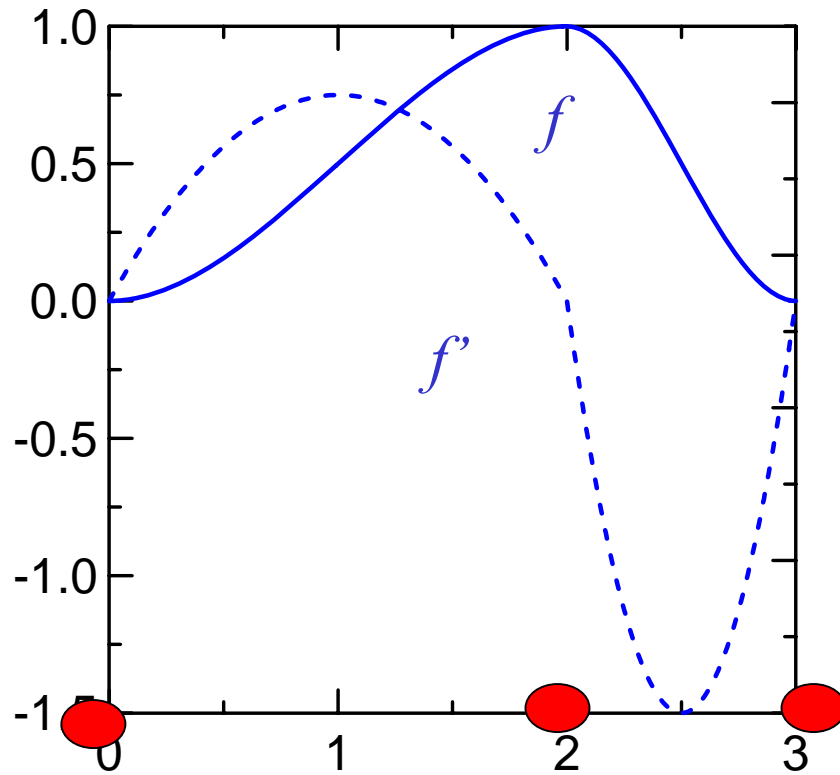
współczynniki $a_k, b_k, c_k, d_k : f(x_k)=1, f(x_{k-1})=0, f'(x_k)=0, f'(x_{k-1})=0$

$$\left. \begin{array}{l} c_k = 0 \\ d_k = 1 \\ a_k = -\frac{2}{\delta_k^3} \\ b_k = -\frac{3}{\delta_k^2} \end{array} \right| \quad \swarrow$$

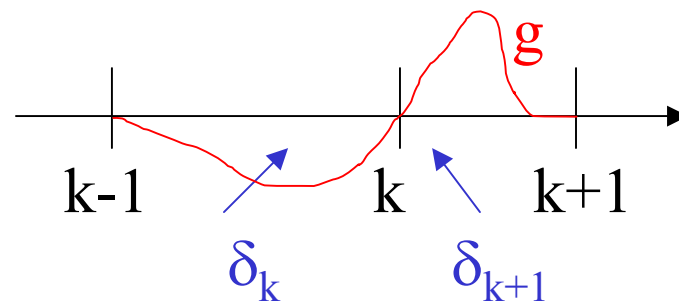
podobnie

$$\left. \begin{array}{l} C_k = 0 \\ D_k = 1 \\ A_k = \frac{2}{\delta_{k+1}^3} \\ B_k = -\frac{3}{\delta_{k+1}^2} \end{array} \right|$$

przykładowy przebieg funkcji f niosącej ciągłość
rozwiązania przez granicę elementów



konstruujemy funkcję g_k :



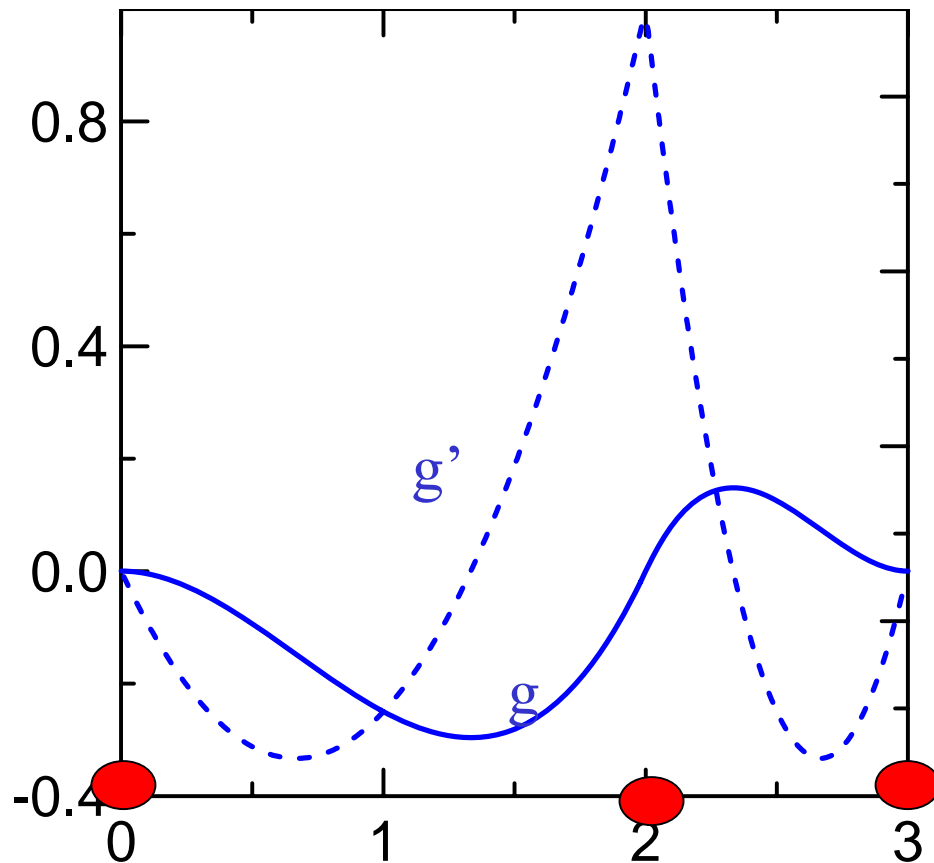
$$g_k = \left\{ \begin{array}{ll} a_k(x - x_k)^3 + b_k(x - x_k)^2 + c_k(x - x_k) + d_k & x \in [x_{k-1}, x_k] \\ A_k(x - x_k)^3 + B_k(x - x_k)^2 + C_k(x - x_k) + D_k & x \in [x_k, x_{k+1}] \\ 0 & x \text{ w dopełnieniu} \end{array} \right|$$

$$\begin{array}{l} g(x_{k-1}) = g(x_k) = g'(x_{k-1}) = 0 \\ g'(x_k) = 1 \end{array}$$

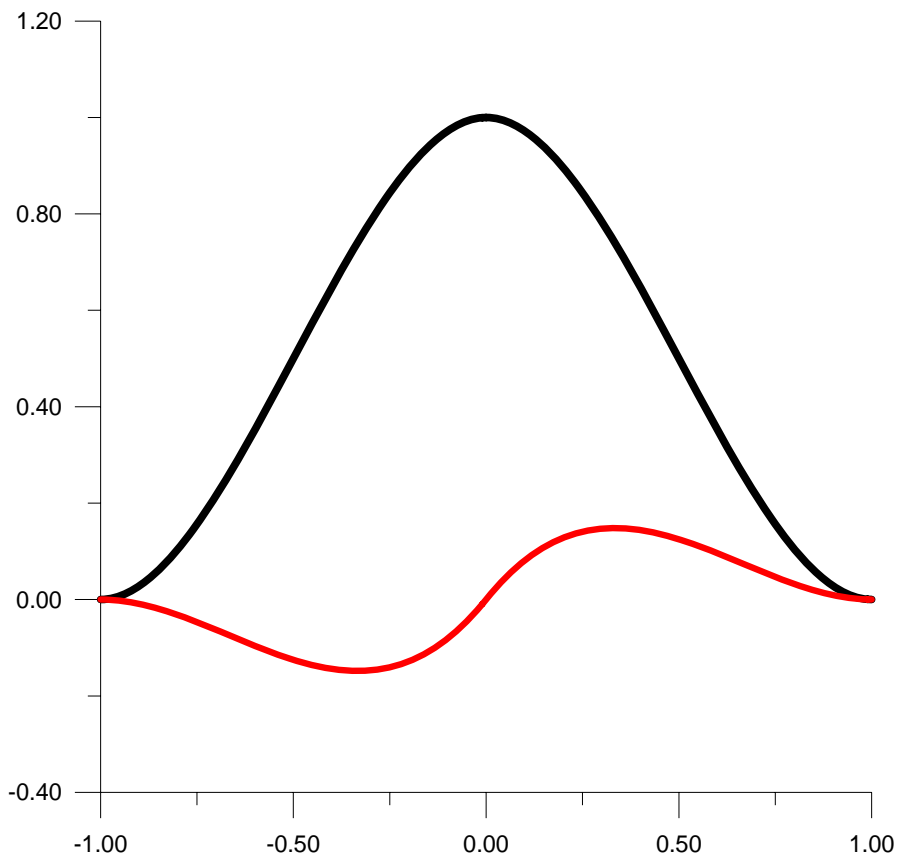
$$\left. \begin{array}{l} c_k = 1 \\ d_k = 0 \\ a_k = \frac{1}{\delta_k^2} \\ b_k = \frac{2}{\delta_k} \end{array} \right|$$

$$\left. \begin{array}{l} C_k = 1 \\ D_k = 0 \\ A_k = \frac{1}{\delta_{k+1}^2} \\ B_k = -\frac{2}{\delta_{k+1}} \end{array} \right|$$

przykładowy przebieg funkcji g niosącej ciągłość
pochodnej rozwiązania przez granicę elementów



funkcje f_k g_k są ortogonalne jeśli węzły równoodległe



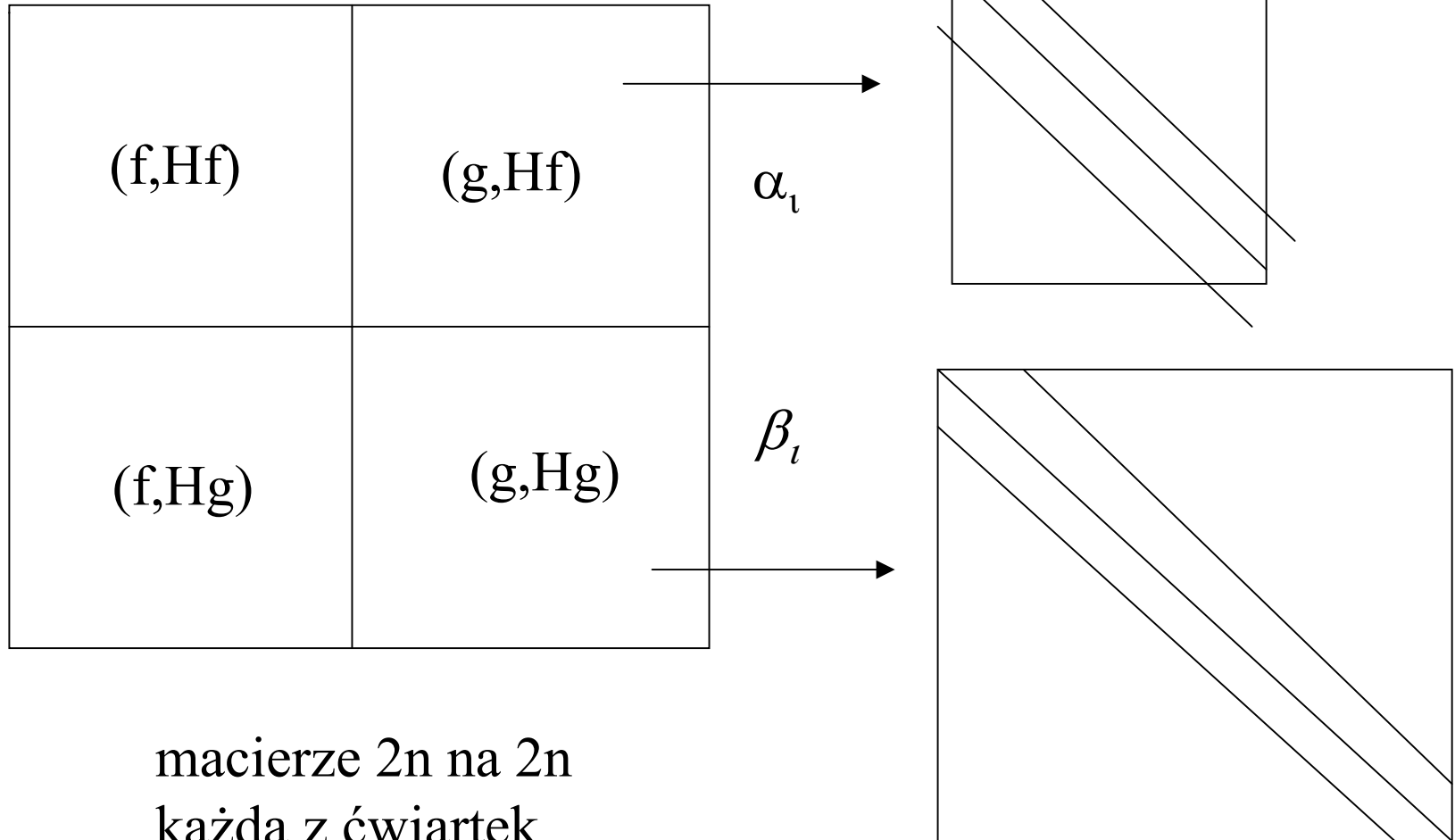
symetria, ale (f_k, g_{k+1}) już nie 0

w teorii interpolacji: wielomiany 3-go rzędu interpolujące wartości i pochodne
- sklejki Hermite'a

sklejka Hermita dla równania własnego: struktura macierzy

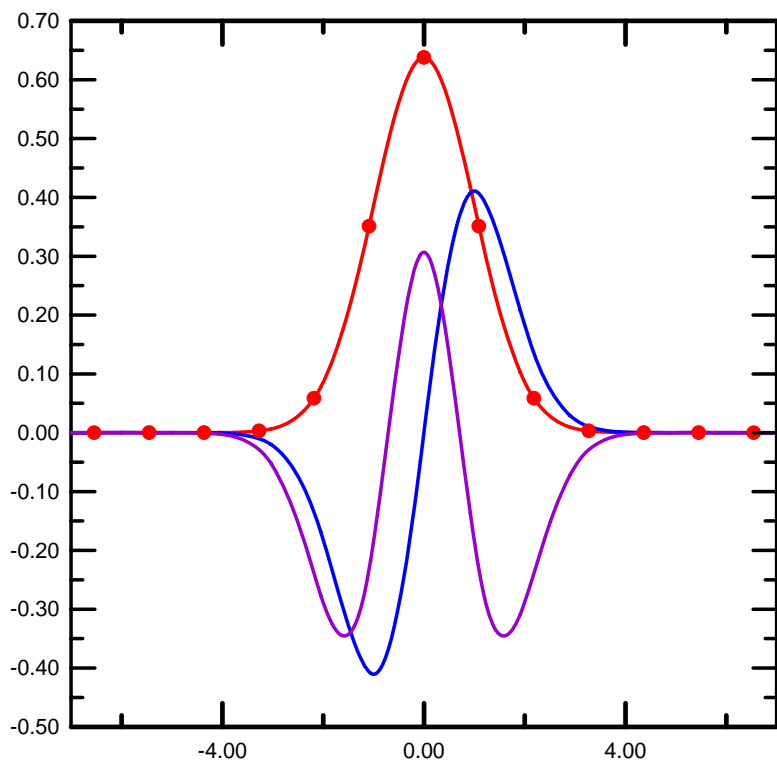
$$\mathbf{Hc} = E\mathbf{Oc}$$

$$u = \sum_i \alpha_i f_i(x) + \sum_i \beta_i g_i(x)$$



macierze $2n$ na $2n$
każda z ćwiartek
trójkątniowa

równoodległe węzły zaznaczone kropkami



4.502

3.510

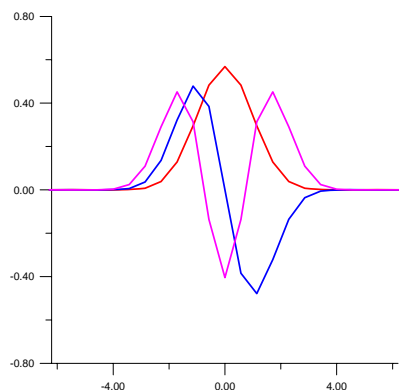
2.500

1.500

0.500

rewelacyjny wynik

13 węzłów/26 równań



liniowe 23 węzły / (23 równania)

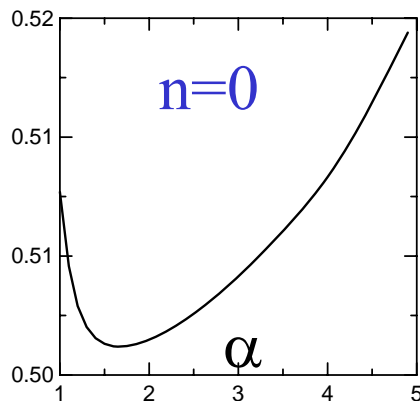
2.625

1.549

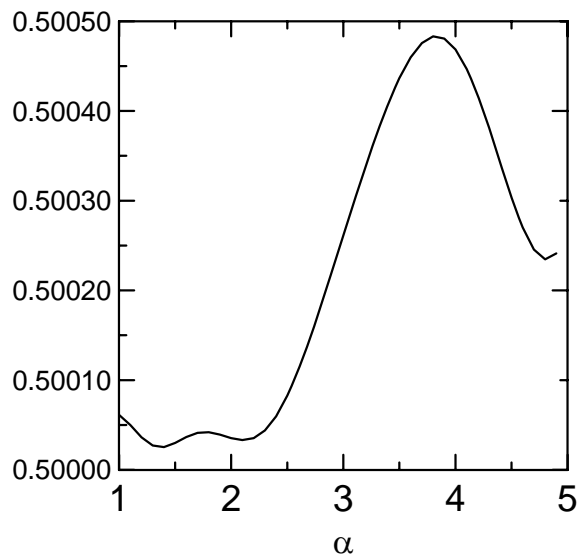
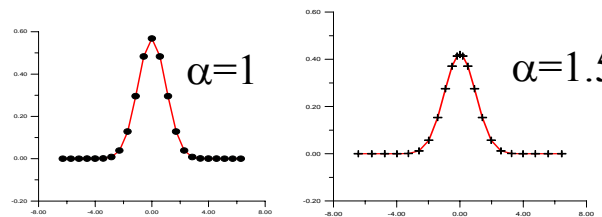
0.51

optymalizacja elementów
(więcej węzłów na środku)

$$x_k = 6 \left(\frac{|k - n/2 - 1|}{n/2} \right)^\alpha$$



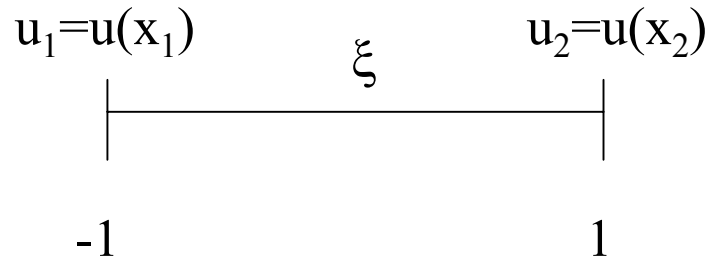
wynik dla funkcji liniowych



wynik dla sklejek Hermite'a

-funkcje kształtu są tak elastyczne,
że optymalizacja elementów staje
się zbędna

funkcje kształtu Hermite'a w przestrzeni referencyjnej
zastosowanie dla problemów eliptycznych 1D



Pochodne funkcji (po x nie po ξ) = nowe elementy węzłowe

$$u'_1 = \left. \frac{du}{dx} \right|_{x=x_1} \quad u'_2 = \left. \frac{du}{dx} \right|_{x=x_2}$$

= oprócz ciągłości przez granicę elementu dostaniemy
oszacowanie pochodnych na granicy

Szukamy funkcji kształtu dla rozwiązań ciągłych z pochodną (funkcji kształtu Hermite'a)

4 równania: 2 wartości, 2 pochodne

$$u(\xi = -1) = u_1 \quad \left| \quad x(\xi) = (x_{m-1} + x_m)/2 + (x_m - x_{m-1})/2 \xi \right.$$

$$u(\xi = +1) = u_2 \quad \left| \quad u'_1 = \frac{du}{dx} \Big|_{x=x_1} = \frac{du}{d\xi} \Big|_{\xi=-1} \times \frac{d\xi}{dx} = \frac{du}{d\xi} \Big|_{\xi=-1} \frac{1}{J_m} \right.$$

$$u(\xi) = u_1^0 \phi_1^0(\xi) + u_1^1 \phi_1^1(\xi) + u_2^0 \phi_2^0(\xi) + u_2^1 \phi_2^1(\xi)$$

$$u_2 = u_2^0 \quad \left| \quad u'_1 = u_1^1 \quad u'_2 = u_2^1 \right.$$

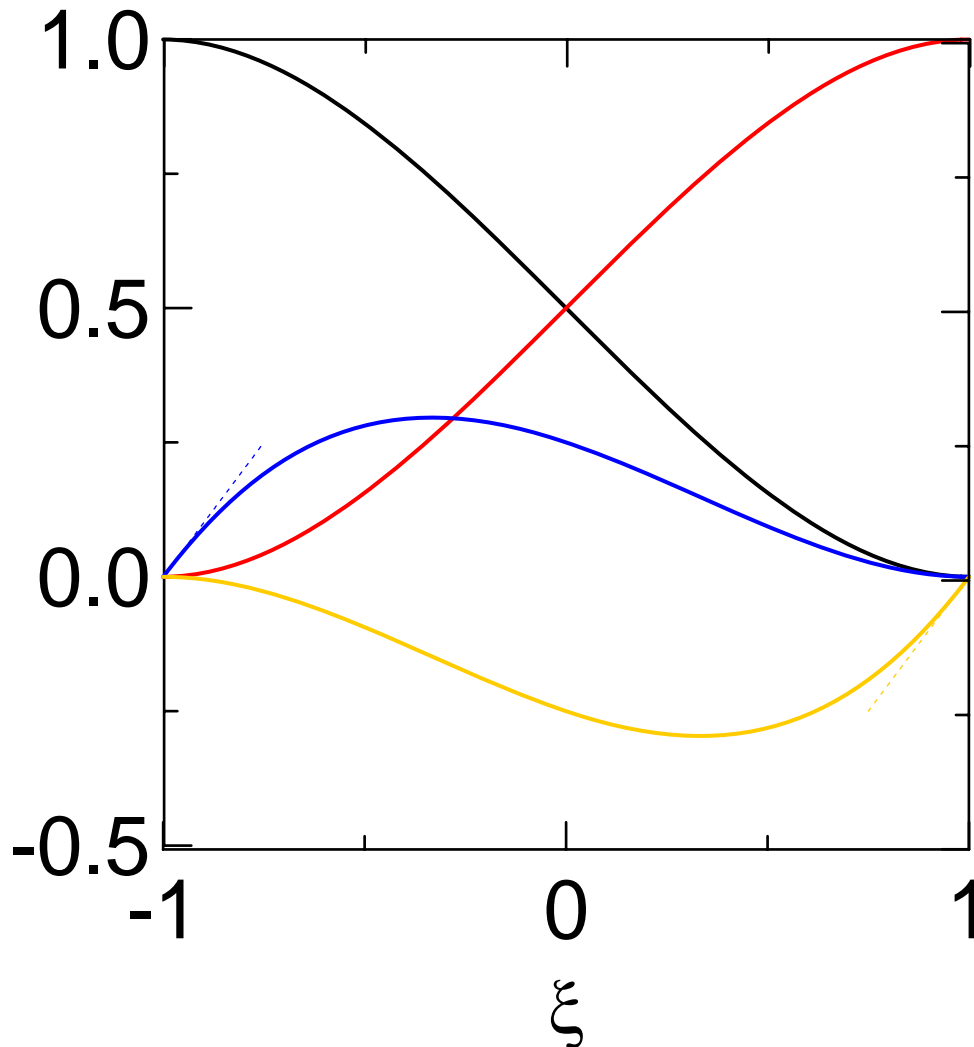
$$\phi_1^0 = \frac{1}{2} - \frac{3}{4}\xi + \frac{1}{4}\xi^3$$

$$\phi_1^1 = \frac{J_m}{4}(1 - \xi - \xi^2 + \xi^3)$$

$$\phi_2^0 = \frac{1}{2} + \frac{3}{4}\xi - \frac{1}{4}\xi^3$$

$$\phi_2^1 = \frac{J_m}{4}(-1 - \xi + \xi^2 + \xi^3)$$

$$u(\xi) = u_1^0 \underbrace{\phi_1^0(\xi)} + u_1^1 \underbrace{\phi_1^1(\xi)} + u_2^0 \underbrace{\phi_2^0(\xi)} + u_2^1 \underbrace{\phi_2^1(\xi)}$$



na rysunku funkcje związane
z pochodnymi / Jakobian

$$\phi_1^0(\xi = -1) = \phi_2^0(\xi = +1) = 1$$

$$\phi_1^0(\xi = +1) = \phi_2^0(\xi = -1) = 0$$

$$(\phi_1^0)'(\xi = \pm 1) = (\phi_2^0)'(\xi = \pm 1) = 0$$

$$\frac{\phi_1^1(\xi = -1)}{J_m} = \frac{\phi_2^1(\xi = +1)}{J_m} = 1$$

$$\phi_1^1(\xi = +1) = \phi_2^1(\xi = -1) = 0$$

$$(\phi_1^1)'(\xi = \pm 1) = (\phi_2^1)'(\xi = \pm 1) = 0$$

każda z funkcji kształtu Hermite'a: odpowiedzialna za wartość lub pochodną,
żadna nie przesadza pozostałym (pełen podział kompetencji)

Funkcje kształtu Hermite'a: interpolacja jednomianów, przedział $[-1:1]$:

$$u(\xi) = u_1^0 \phi_1^0(\xi) + u_1^1 \phi_1^1(\xi) + u_2^0 \phi_2^0(\xi) + u_2^1 \phi_2^1(\xi)$$

$$\phi_1^0 = \frac{1}{2} - \frac{3}{4}\xi + \frac{1}{4}\xi^3$$

$$\phi_1^1 = \frac{J_m}{4}(1 - \xi - \xi^2 + \xi^3)$$

$$J_m=1$$

$$\phi_2^0 = \frac{1}{2} + \frac{3}{4}\xi - \frac{1}{4}\xi^3$$

$$\phi_2^1 = \frac{J_m}{4}(-1 - \xi + \xi^2 + \xi^3)$$

dokładna funkcja $v(\xi)=\xi$ $u_1^0 = -1, u_2^0 = 1, u_1^1 = 1, u_2^1 = 1$
 $u = \frac{3}{2}\xi - \frac{1}{2}\xi^3 + \frac{-1}{2}\xi + \frac{1}{2}\xi^3 = \xi$

wartości

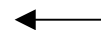
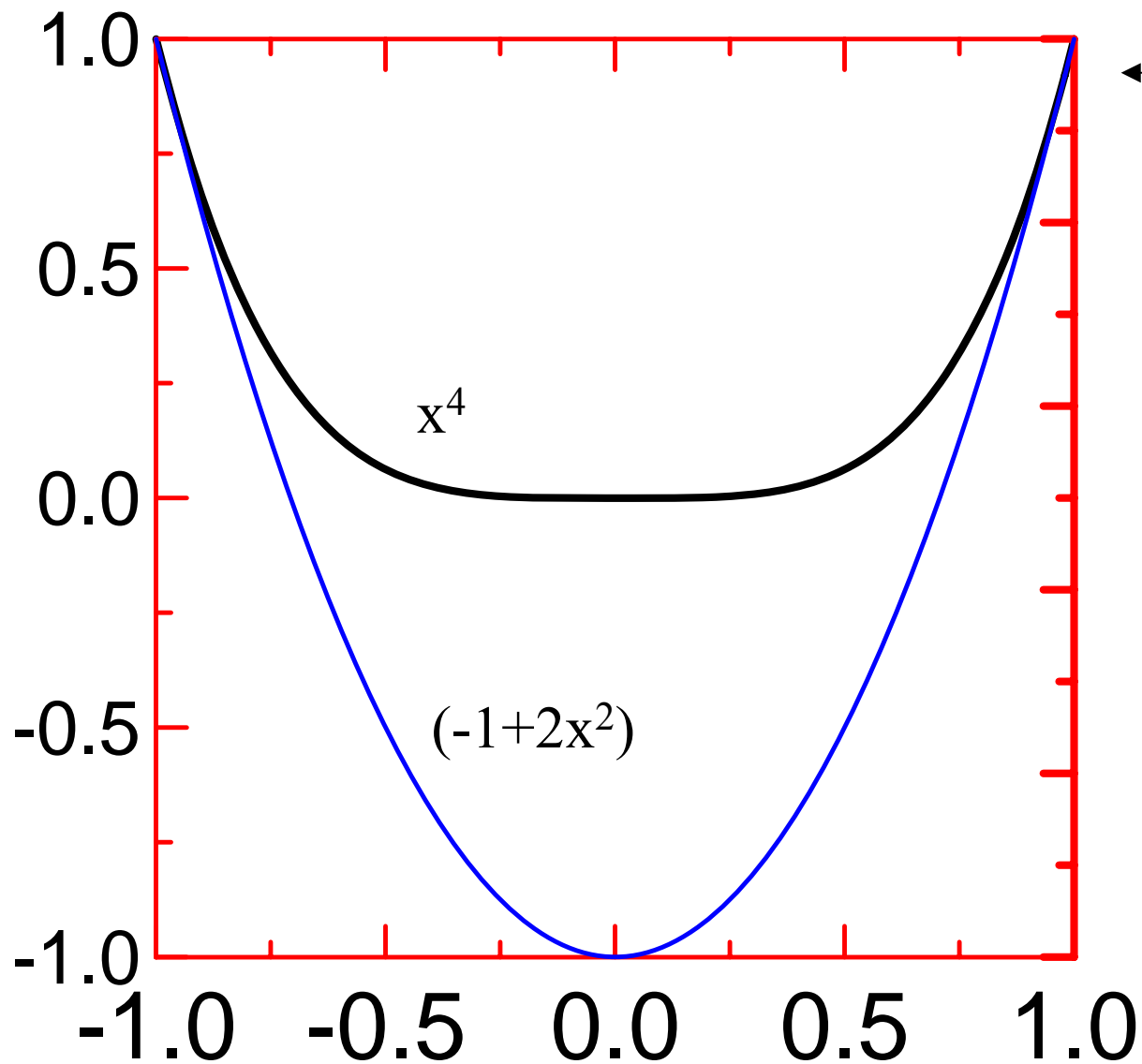
pochodne

dokładna funkcja $v(\xi)=\xi^2$ $u_1^0 = 1, u_2^0 = 1, u_1^1 = -2, u_2^1 = 2$
 $u = 1 + (-1 - \xi^2) = \xi^2$

dokładna funkcja $v(\xi)=\xi^3$ $u_1^0 = -1, u_2^0 = 1, u_1^1 = 3, u_2^1 = 3$
 $u = \xi^3$

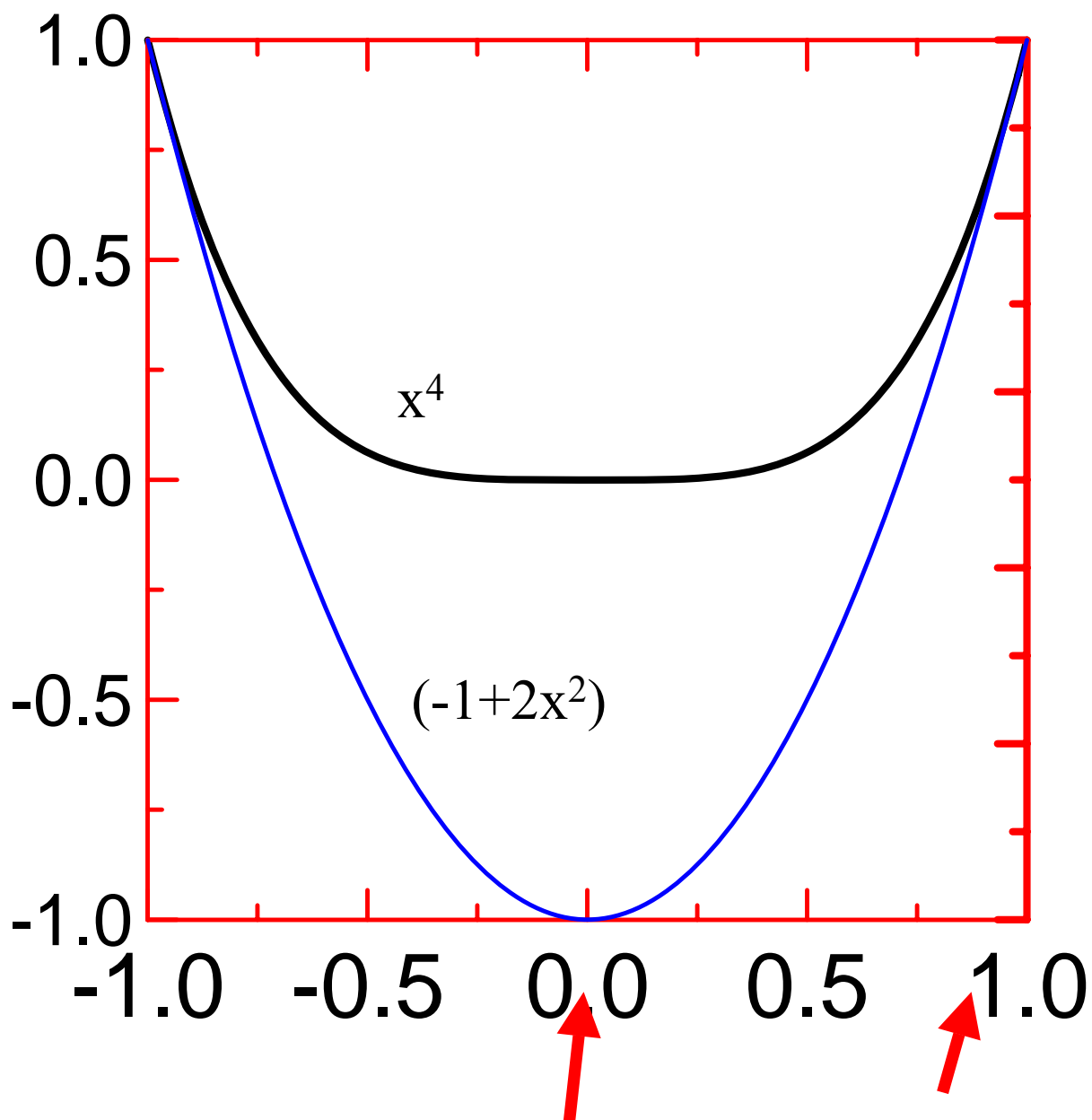
dokładna funkcja $v(\xi)=\xi^4$ $u_1^0 = 1, u_2^0 = 1, u_1^1 = -4, u_2^1 = 4$
 $u = -1 + 2\xi^2$

kubiczna sklejka Hermita a wielomian 4-tego rzędu



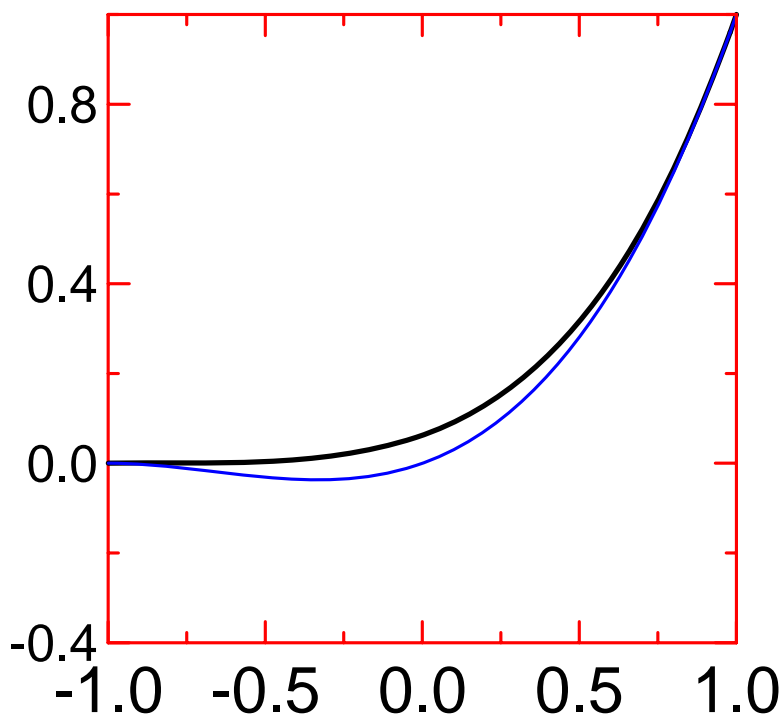
wartość
funkcji i
pochodnej OK,
ale sukces
interpolacji
umiarkowany

Trzeba zawęzić przedział



zawęzić przedział x^4 od $[-1,1]$ do $[0,1]$
aby nie przejmować się czynnikiem skali J_m :
trzymamy $[-1,1]$ a przekształcamy funkcję $[(x+1)/2]^4$

dokładna funkcja $v(\xi)=[(\xi+1)/2]^4$ $u_1^0=0, u_2^0=1, u_1^1=0, u_2^1=2$
 $u=1/4\xi+1/4\xi^3+1/2\xi^2$



itd.

funkcje kształtu Hermita: zastosowanie

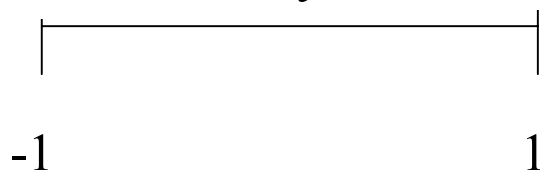
$$\frac{d^2 u}{dx^2} = -\sin(\pi x) \quad \left| \begin{array}{l} u(x=-1)=0 \\ u(x=1)=0 \end{array} \right.$$

Przedział $(-1, 1)$

Podzielony na 8 elementów

(9 węzłów, 18 parametrów węzłowych)

$$\begin{array}{ccc} u_1 = u_1^0 & & u_2 = u_2^0 \\ u_1' = u_1^1 & \xi & u_2' = u_2^1 \end{array}$$



$$x(\xi) = (x_{m-1} + x_m)/2 + (x_m - x_{m-1})/2 \xi$$

$$J_m = h_m/2$$

$$u(\xi) = \underbrace{u_1^0 \phi_1^0(\xi)}_1 + \underbrace{u_1^1 \phi_1^1(\xi)}_2 + \underbrace{u_2^0 \phi_2^0(\xi)}_3 + \underbrace{u_2^1 \phi_2^1(\xi)}_4$$

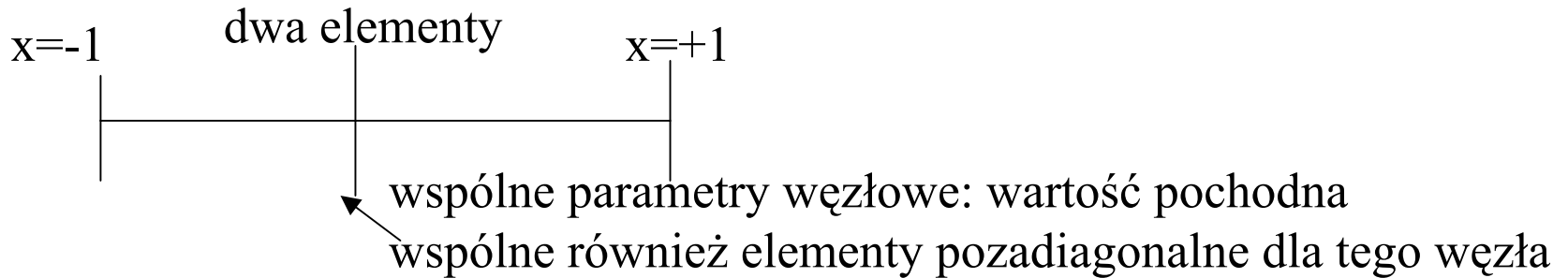
macierz sztywności dla pojedynczego elementu

$$E_{ij}^m = \int_{-1}^1 \frac{1}{J_m} \left[-\frac{df_i}{d\xi} \frac{df_j}{d\xi} \right] d\xi$$

$$E_{ij}^m = \frac{1}{30J_m} \begin{pmatrix} -18 & -3J_m & 18 & -3J_m \\ -3J_m & -8J_m^2 & 3J_m & 2J_m^2 \\ 18 & 3J_m & -18 & 3J_m \\ -3J_m & 2J_m^2 & 3J_m & -8J_m^2 \end{pmatrix}$$

$$E^m = \frac{1}{30J_m} \begin{pmatrix} \begin{array}{cc|cc} u_1^0 & u_1^1 & u_2^0 & u_2^1 \\ \hline -18 & -3J_m & 18 & -3J_m \\ -3J_m & -8J_m^2 & 3J_m & 2J_m^2 \\ 18 & 3J_m & -18 & 3J_m \\ -3J_m & 2J_m^2 & 3J_m & -8J_m^2 \end{array} \end{pmatrix} \left| \begin{array}{c} u_1^0 \\ u_1^1 \\ u_2^0 \\ u_2^1 \end{array} \right. \begin{array}{l} u(\text{lewy}) \\ u'(\text{lewy}) \\ u(\text{prawy}) \\ u'(\text{prawy}) \end{array}$$

składanie macierzy sztywności dla f.k. Hermita



$$S = \left(\begin{array}{cc|cc|cc} E_{11}^1 & E_{12}^1 & E_{13}^1 & E_{14}^1 & 0 & 0 \\ E_{21}^1 & E_{22}^1 & E_{23}^1 & E_{24}^1 & 0 & 0 \\ E_{31}^1 & E_{32}^1 & E_{33}^1 + E_{11}^2 & E_{34}^1 + E_{12}^2 & E_{13}^2 & E_{13}^2 \\ E_{41}^1 & E_{42}^1 & E_{43}^1 + E_{21}^2 & E_{44}^1 + E_{22}^2 & E_{23}^2 & E_{23}^2 \\ \hline 0 & 0 & E_{31}^2 & E_{32}^2 & E_{33}^2 & E_{34}^2 \\ 0 & 0 & E_{41}^2 & E_{42}^2 & E_{43}^2 & E_{44}^2 \end{array} \right)$$

Prawa strona/jeden element

$$P_i^m = \int_{-1}^1 J_m f_i(\xi) [-\sin(\pi x(\xi))] d\xi$$

$$F = \begin{pmatrix} P_1^1 \\ P_2^1 \\ P_3^1 + P_1^2 \\ P_4^1 + P_2^2 \\ P_3^2 \\ P_4^2 \end{pmatrix}$$

Warunki brzegowe: $u(x=-1)=0$
 $u(x=1)=0$

$$S = \left(\begin{array}{cccccc} E_{11}^1 & E_{12}^1 & E_{13}^1 & E_{14}^1 & 0 & 0 \\ E_{21}^1 & E_{22}^1 & E_{23}^1 & E_{24}^1 & 0 & 0 \\ E_{31}^1 & E_{32}^1 & E_{33}^1 + E_{11}^2 & E_{34}^1 + E_{12}^2 & E_{13}^2 & E_{13}^2 \\ E_{41}^1 & E_{42}^1 & E_{43}^1 + E_{21}^2 & E_{44}^1 + E_{22}^2 & E_{23}^2 & E_{23}^2 \\ 0 & 0 & E_{31}^2 & E_{32}^2 & E_{33}^2 & E_{34}^2 \\ 0 & 0 & E_{41}^2 & E_{42}^2 & E_{43}^2 & E_{44}^2 \end{array} \right) \left| \begin{array}{l} u(-1) \\ u'(-1) \\ u(0) \\ u'(0) \\ u(1) \\ u'(1) \end{array} \right.$$

Warunki brzegowe: $u(x=-1)=0$
 $u(x=1)=0$

$$S = \begin{pmatrix} \cancel{E_{11}^1} & \cancel{E_{12}^1} & \cancel{E_{13}^1} & \cancel{E_{14}^1} & 0 & 0 \\ E_{21}^1 & E_{22}^1 & E_{23}^1 & E_{24}^1 & 0 & 0 \\ E_{31}^1 & E_{32}^1 & E_{33}^1 + E_{11}^2 & E_{34}^1 + E_{12}^2 & E_{13}^2 & E_{13}^2 \\ E_{41}^1 & E_{42}^1 & E_{43}^1 + E_{21}^2 & E_{44}^1 + E_{22}^2 & E_{23}^2 & E_{23}^2 \\ \hline 0 & 0 & E_{31}^2 & E_{32}^2 & E_{33}^2 & E_{34}^2 \\ 0 & 0 & E_{41}^2 & E_{42}^2 & E_{43}^2 & E_{44}^2 \end{pmatrix} \begin{vmatrix} u(-1) \\ u'(-1) \\ u(0) \\ u'(0) \\ u(1) \\ u'(1) \end{vmatrix}$$

tu damy jedynki na diagonalu

$$\mathbf{Su}=\mathbf{F}$$

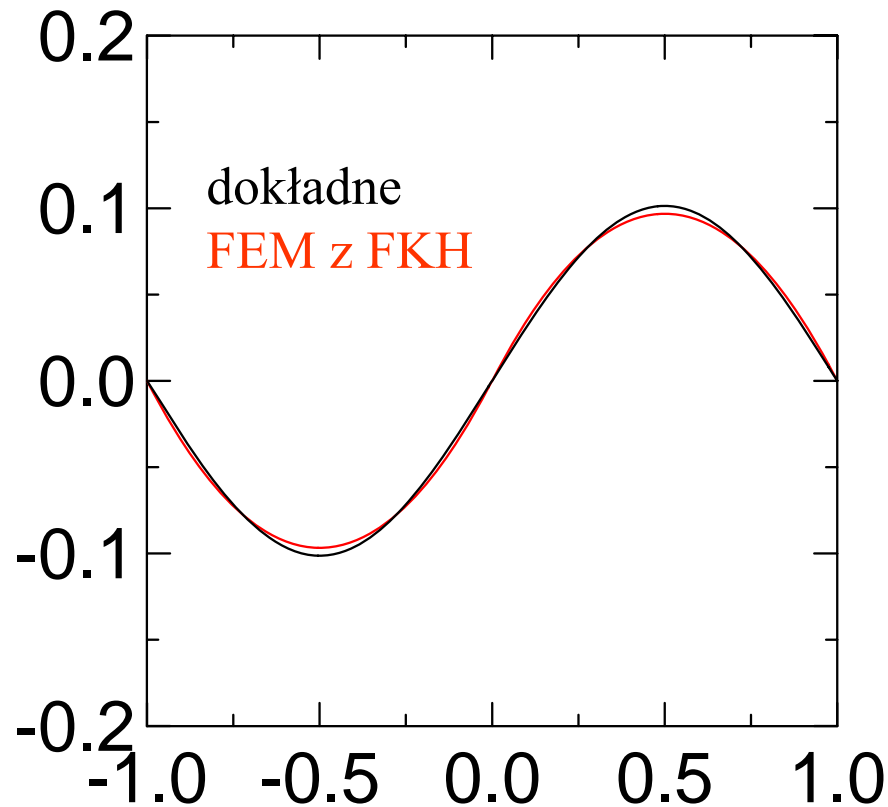
$$\mathbf{F} = \begin{pmatrix} \cancel{P_1^1} \\ P_2^1 \\ P_3^1 + P_1^2 \\ P_4^1 + P_2^2 \\ \cancel{P_3^2} \\ P_4^2 \end{pmatrix}$$

tu damy zera

$$\frac{d^2 u}{dx^2} = -\sin(\pi x)$$

Wyniki dla problemu modelowego

dwa elementy / 3 węzły / 6 parametrów węzłowych



pochodne uzyskane z rozwiązania
układu równań
w węzłach:

-0.387 , 0.387 , -0.387

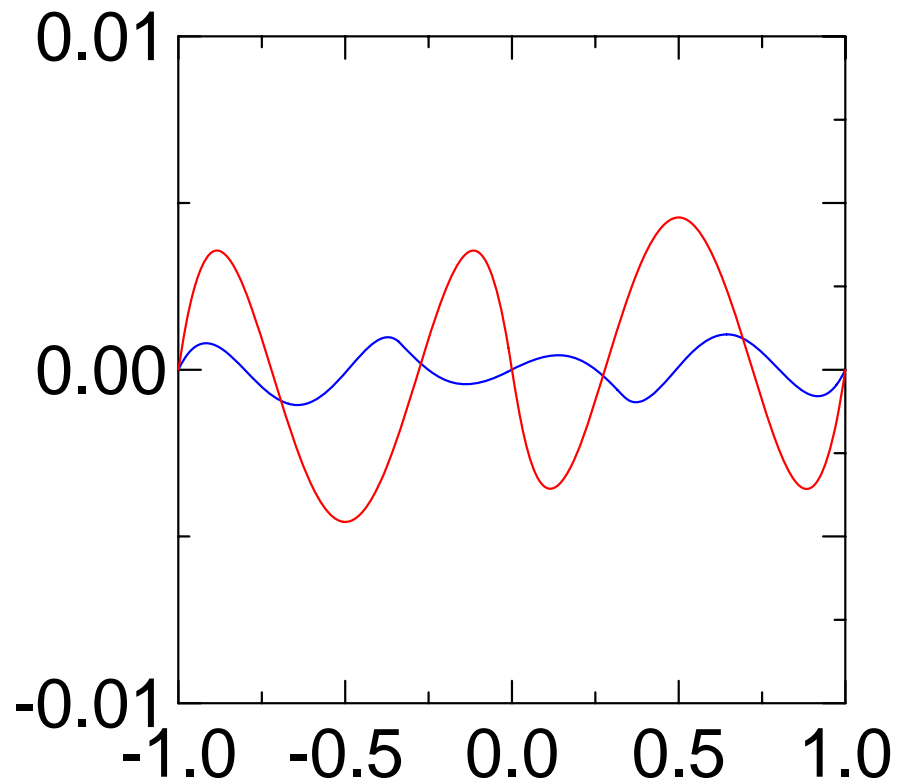
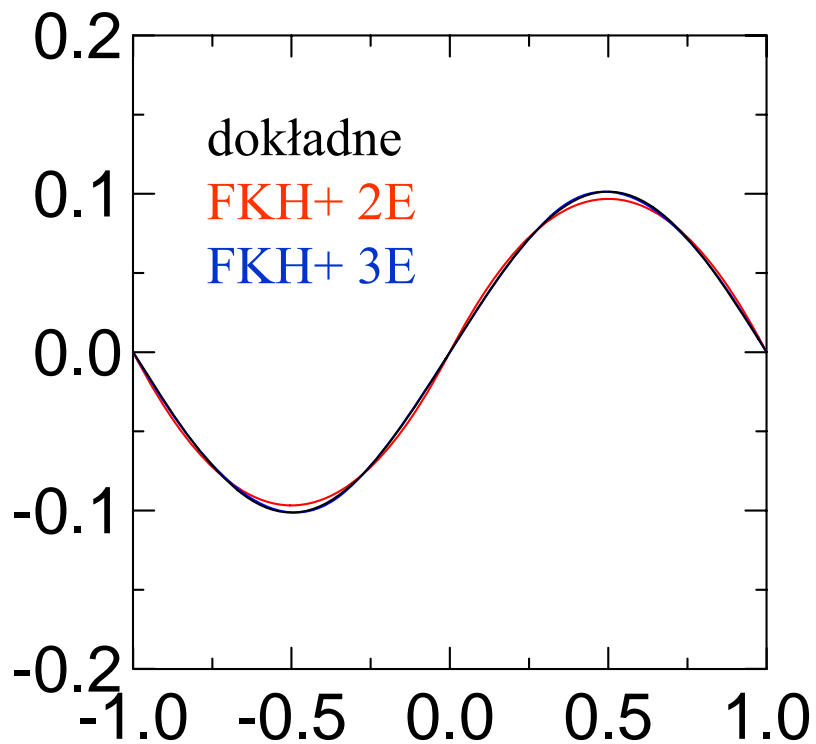
zamiast dokładnej

$-1/\pi, 1/\pi, -1/\pi$

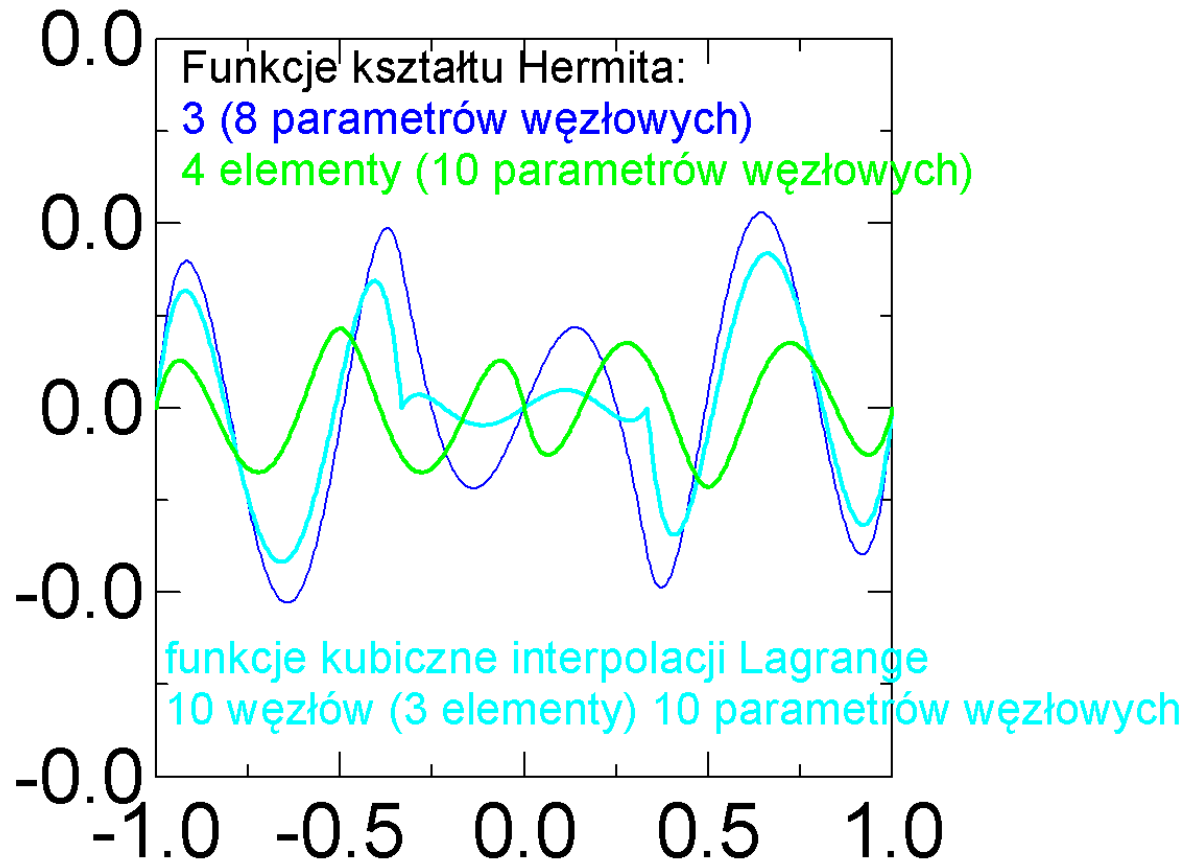
-0.318, 0.318, -0.318

Wyniki dla problemu modelowego

3 elementy / 4 węzły / 8 parametrów węzłowych



Baza kubiczna Lagrange'a i baza Hermita porównanie dokładności



Przy tej samej złożoności: w porównaniu z bazą Lagrange'a w bazie Hermita błąd mniejszy (i ciągły, bo rozwiązanie przybliżone ciągłe)

funkcje kształtu Hermita a warunki brzegowe Neumanna

$$u(x=-1)=0$$

$$u'(x=1)=-1/\pi$$

$$u(x) = \frac{\sin(\pi x)}{\pi^2}$$

Przykład dla dwóch elementów

$$S = \begin{pmatrix} \overline{E_{11}^1} & \overline{E_{12}^1} & \overline{E_{13}^1} & \overline{E_{14}^1} & 0 & 0 \\ E_{21}^1 & E_{22}^1 & E_{23}^1 & E_{24}^1 & 0 & 0 \\ E_{31}^1 & E_{32}^1 & E_{33}^1 + E_{11}^2 & E_{34}^1 + E_{12}^2 & E_{13}^2 & E_{13}^2 \\ E_{41}^1 & E_{42}^1 & E_{43}^1 + E_{21}^2 & E_{44}^1 + E_{22}^2 & E_{23}^2 & E_{23}^2 \\ 0 & 0 & E_{31}^2 & E_{32}^2 & E_{33}^2 & E_{34}^2 \\ \underline{0} & \underline{0} & \underline{E_{41}^2} & \underline{E_{42}^2} & \underline{E_{43}^2} & \underline{E_{44}^2} \end{pmatrix} \quad F = \begin{pmatrix} \overline{P_1^1} \\ P_2^1 \\ P_3^1 + P_1^2 \\ P_4^1 + P_2^2 \\ P_3^2 \\ \underline{P_4^2} \end{pmatrix}$$

1 → (red arrow pointing to $\overline{E_{11}^1}$)

1 → (red arrow pointing to E_{44}^2)

co tutaj? (blue text with arrow pointing to $\underline{P_4^2}$)

$$u(\xi) = u_1^0 \phi_1^0(\xi) + u_1^1 \phi_1^1(\xi) + u_2^0 \phi_2^0(\xi) + \underline{u_2^1 \phi_2^1(\xi)}$$

mamy ustawić u_2^1 tak, żeby

odpowiedzialna za pochodną na końcu przedziału

$$\left. \frac{du(x(\xi))}{dx} \right|_{x=1} = -\frac{1}{\pi} \longrightarrow u_2^1 \left. \frac{d\phi_2^1(x(\xi))}{dx} \right|_{x=1} = -\frac{1}{\pi}$$

pochodne pozostałych funkcji znikają w 1

warunek Neumanna dla funkcji
kształtu Hilberta

$$u_2^1 \frac{d\phi_2^1(x(\xi))}{dx} \Big|_{x=1} = -\frac{1}{\pi}$$

$$\phi_2^1 = \frac{J_m}{4}(-1-\xi+\xi^2+\xi^3) \Big|$$

$$u_2^1 \frac{d\phi_2^1(\xi)}{d\xi} \frac{d\xi}{dx} \Big|_{\xi=1} = -\frac{1}{\pi} \Big|$$

$$u_2^1 J_m \frac{1}{J_m} = -\frac{1}{\pi}$$

$$u_2^1 = -\frac{1}{\pi}$$

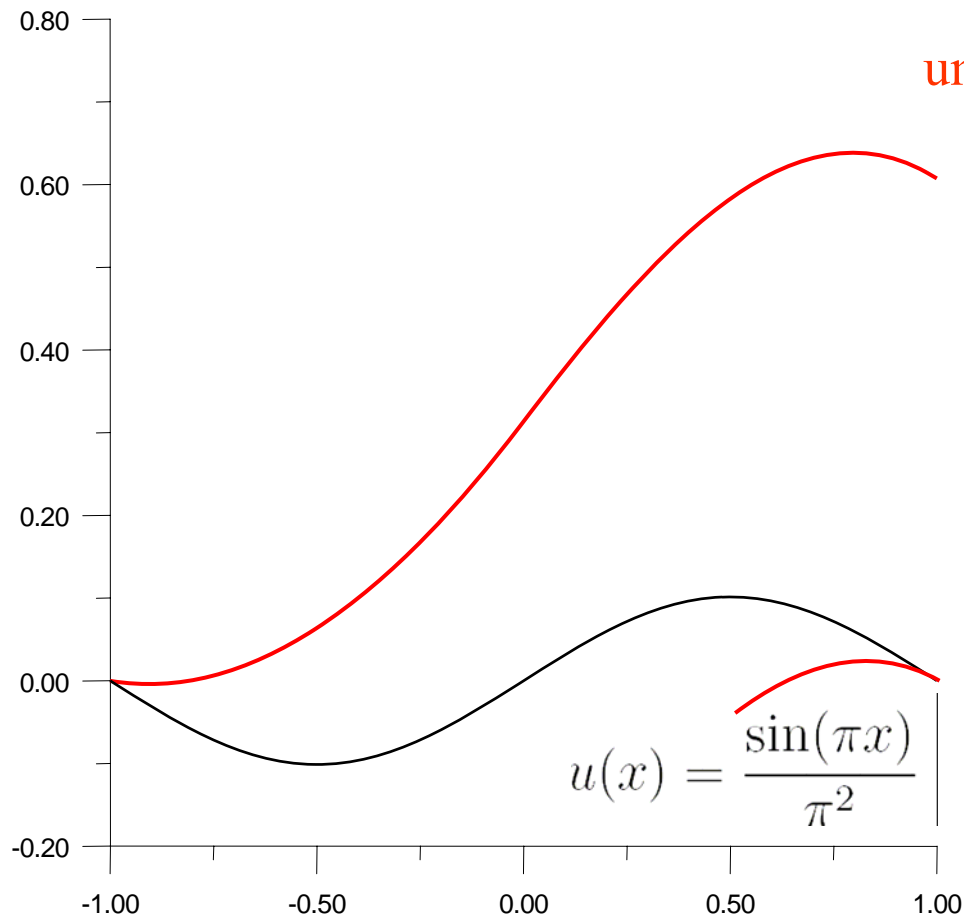
$$S = \left(\begin{array}{cccccc} \textcolor{red}{1} \rightarrow E_{11}^1 & E_{12}^1 & E_{13}^1 & E_{14}^1 & 0 & 0 \\ E_{21}^1 & E_{22}^1 & E_{23}^1 & E_{24}^1 & 0 & 0 \\ E_{31}^1 & E_{32}^1 & E_{33}^1 + E_{11}^2 & E_{34}^1 + E_{12}^2 & E_{13}^2 & E_{13}^2 \\ E_{41}^1 & E_{42}^1 & E_{43}^1 + E_{21}^2 & E_{44}^1 + E_{22}^2 & E_{23}^2 & E_{23}^2 \\ 0 & 0 & E_{31}^2 & E_{32}^2 & E_{33}^2 & E_{34}^2 \\ 0 & 0 & E_{41}^2 & E_{42}^2 & E_{43}^2 & E_{44}^2 \end{array} \right) \Big| \quad F = \left(\begin{array}{c} \textcolor{red}{0} - \cancel{P_1^1} \\ P_2^1 \\ P_3^1 + P_1^2 \\ P_4^1 + P_2^2 \\ P_3^2 \\ \cancel{P_4^2} \end{array} \right) \Big|$$

$\textcolor{red}{1}$

$\textcolor{blue}{-1 / \pi}$

Wynik

warunek Neumanna dla funkcji
kształtu Hermite'a



umiarkowany sukces

pochodna jak trzeba
ale wartość całkiem nie taka

co jest nie tak?

macierz sztywności pojedynczego elementu

warunek Neumana dla funkcji
kształtu Hilberta

$$E_{ij}^m = \int_{-1}^1 \frac{1}{J_m} \left[-\frac{df_i}{d\xi} \frac{df_j}{d\xi} \right] d\xi$$

Przypomnijmy sobie skąd się wzięła

$$(Lu, v) = (f, v) \quad \left| \quad L = \frac{d^2}{dx^2} \right.$$
$$(Lu, v) = \left. \frac{du}{dx} v(x) \right|_{-1}^1 - \int_{-1}^1 \frac{du}{dx} \frac{dv}{dx} dx$$

w metodzie Galerkina $v(x)$ jest funkcją bazową.

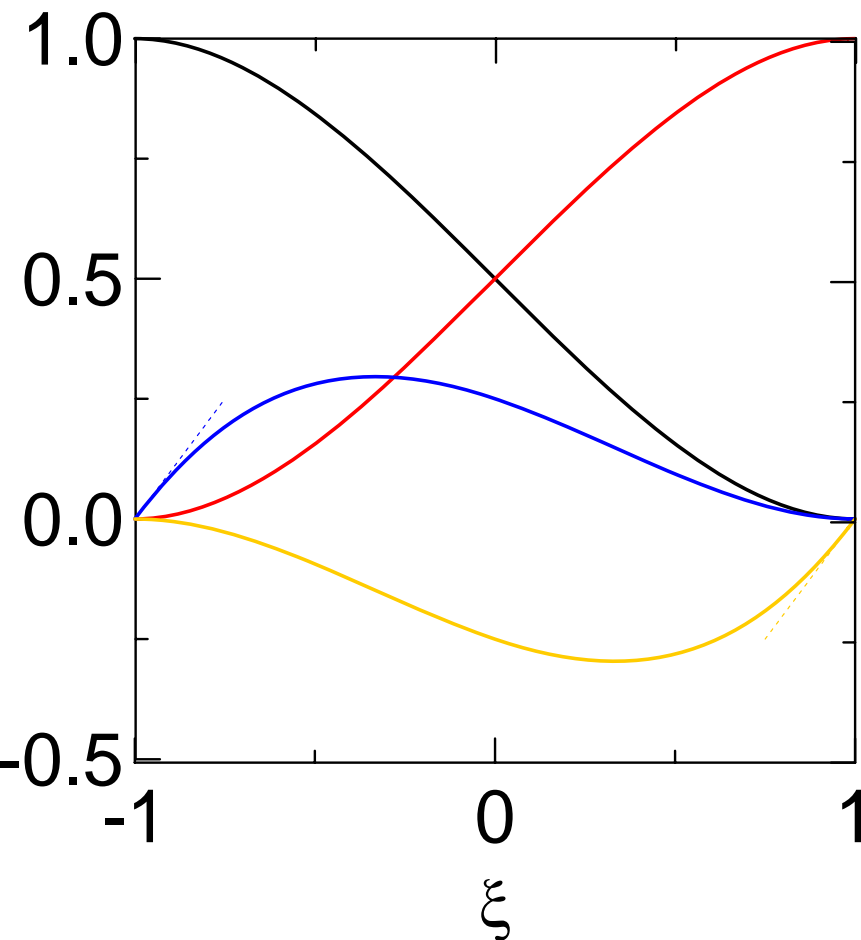
dla warunków Dirichleta $u(1)=u(-1)=0$

usuwalimy z bazy funkcje, które nie znikają na prawym brzegu. $v(x)=0$

Teraz mamy **parę** funkcji dla których wyraz nie znika. Jaką?

$$u(\xi) = \underbrace{u_1^0 \phi_1^0(\xi)} + u_1^1 \underbrace{\phi_1^1(\xi)} + u_2^0 \underbrace{\phi_2^0(\xi)} + u_2^1 \underbrace{\phi_2^1(\xi)}$$

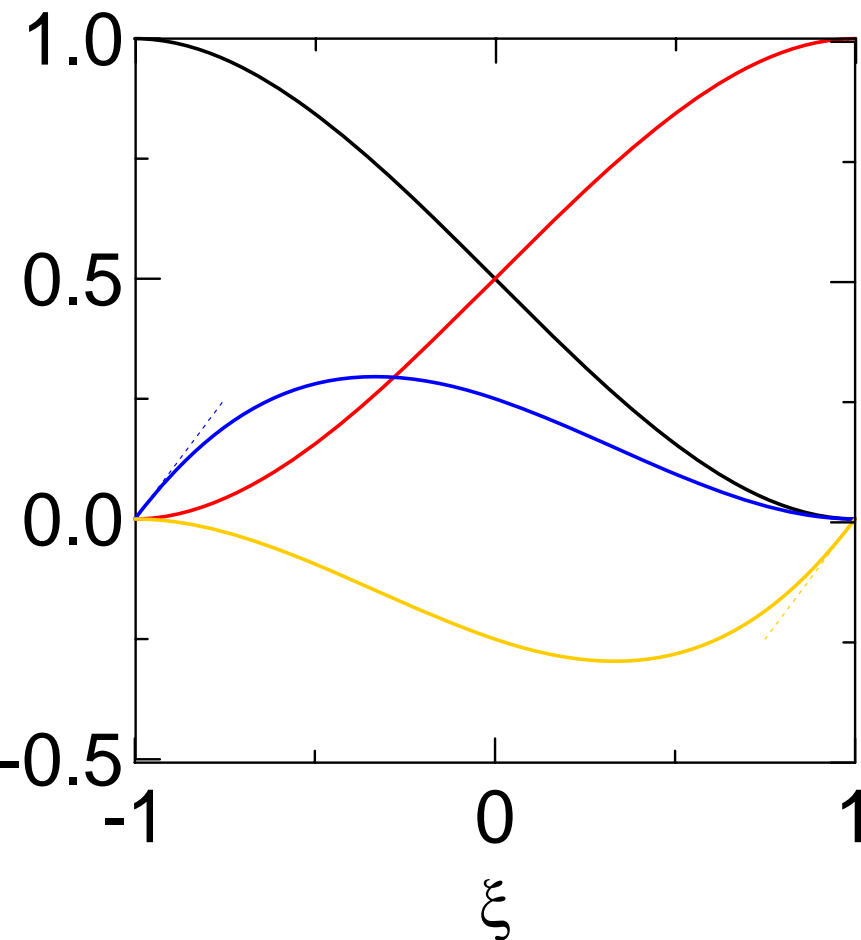
$$(Lu, v) = \left. \frac{du}{dx} v(x) \right|_{-1}^1 - \int_{-1}^1 \frac{du}{dx} \frac{dv}{dx} dx$$



Teraz mamy **parę** funkcji,
dla których wyraz nie znika. **Jaka?**

$$u(\xi) = u_1^0 \underbrace{\phi_1^0(\xi)} + u_1^1 \underbrace{\phi_1^1(\xi)} + u_2^0 \underbrace{\phi_2^0(\xi)} + u_2^1 \underbrace{\phi_2^1(\xi)}$$

$$(Lu, v) = \left. \frac{du}{dx} v(x) \right|_{-1}^1 - \int_{-1}^1 \frac{du}{dx} \frac{dv}{dx} dx$$



Teraz mamy **parę** funkcji,
dla których wyraz nie znika. **Jaka?**

$$\underbrace{\phi_2^0}_{\text{red}}, \underbrace{\phi_2^1}_{\text{yellow}}$$

no i co?

warunek Neumana dla funkcji
kształtu Hermita

$$(Lu, v) = \left. \frac{du}{dx} v(x) \right|_{-1}^1 - \int_{-1}^1 \frac{du}{dx} \frac{dv}{dx} dx$$

$$u(x) = \sum_j c_j \phi_j(x)$$

to trzeba dodać

to już mamy

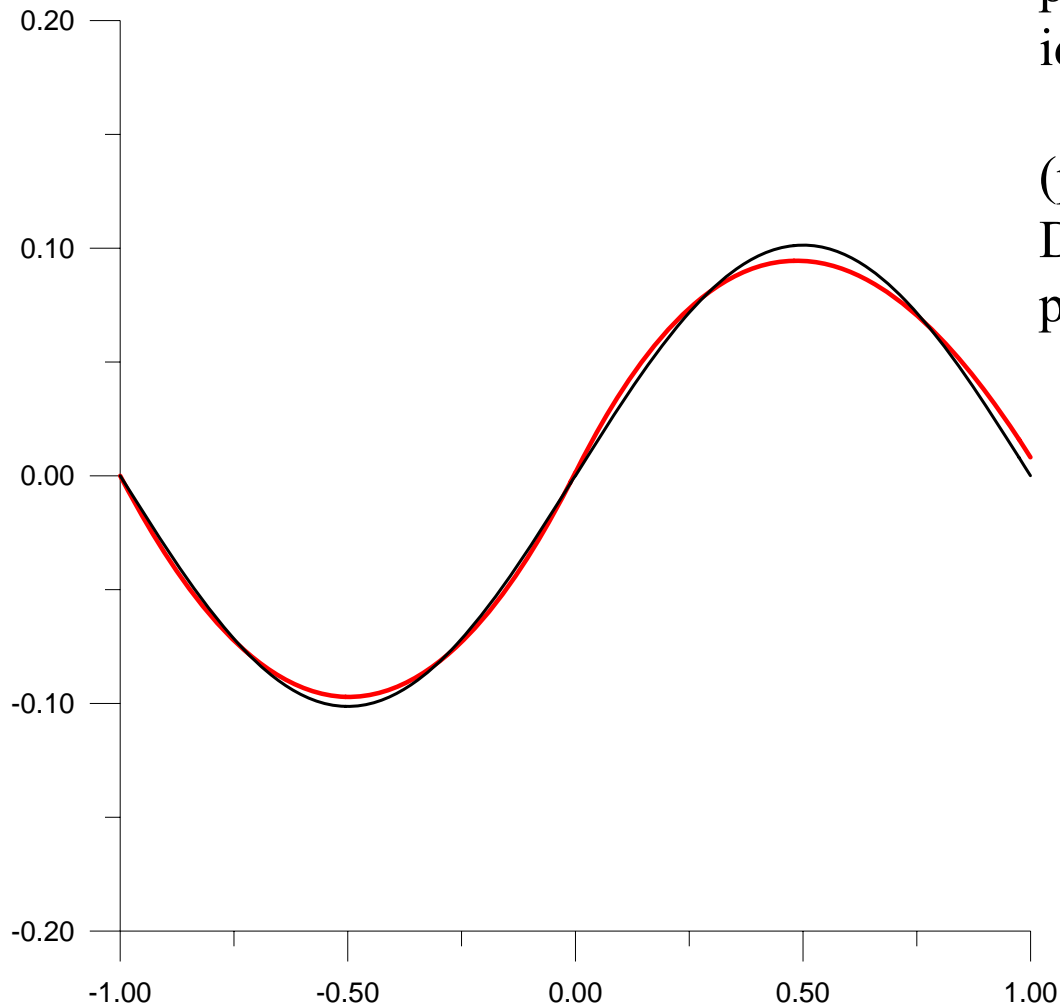
$$S_{ij} = (L\phi_i, \phi_j) = \left. \frac{d\phi_i}{dx} \phi_j(x) \right|_{-1}^1 - \int_{-1}^1 \frac{d\phi_i}{dx} \frac{d\phi_j}{dx} dx$$

$$S = \begin{pmatrix} E_{11}^1 & E_{12}^1 & E_{13}^1 & E_{14}^1 & 0 & 0 \\ E_{21}^1 & E_{22}^1 & E_{23}^1 & E_{24}^1 & 0 & 0 \\ E_{31}^1 & E_{32}^1 & E_{33}^1 + E_{11}^2 & E_{34}^1 + E_{12}^2 & E_{13}^2 & E_{13}^2 \\ E_{41}^1 & E_{42}^1 & E_{43}^1 + E_{21}^2 & E_{44}^1 + E_{22}^2 & E_{23}^2 & E_{23}^2 \\ 0 & 0 & E_{31}^2 & E_{32}^2 & E_{33}^2 & E_{34}^2 \\ 0 & 0 & E_{41}^2 & E_{42}^2 & E_{43}^2 & E_{44}^2 \end{pmatrix}$$

$$E_{ij}^m = \int_{-1}^1 \frac{1}{J_m} \left[-\frac{df_i}{d\xi} \frac{df_j}{d\xi} \right] d\xi$$

$$S_{56} = S_{56} + 1$$

Wynik: prawy warunek brzegowy Neumanna: 2 elementy

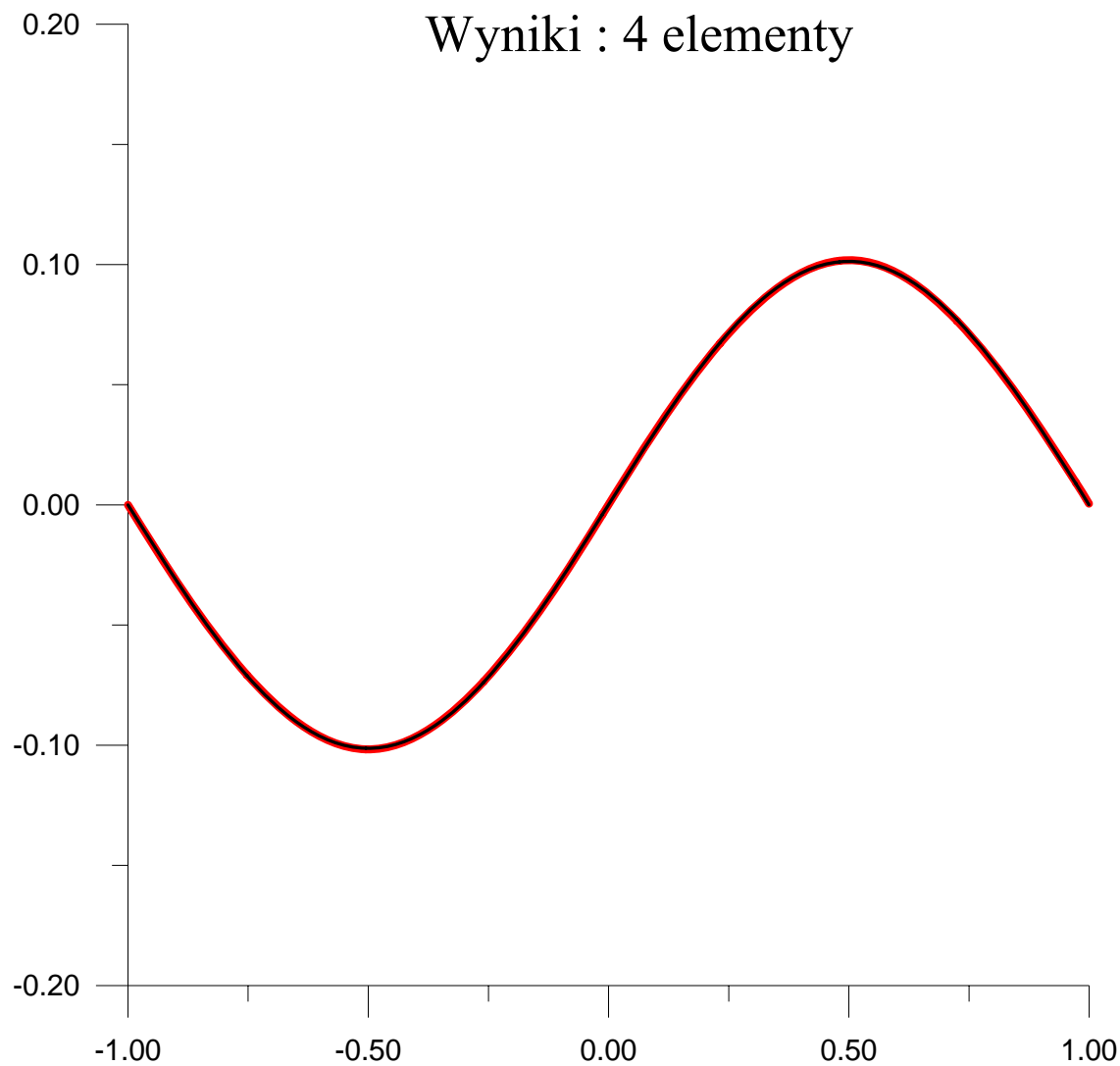


Znacznie lepiej
prawie dobrze, pochodna
idealnie, wartość nie

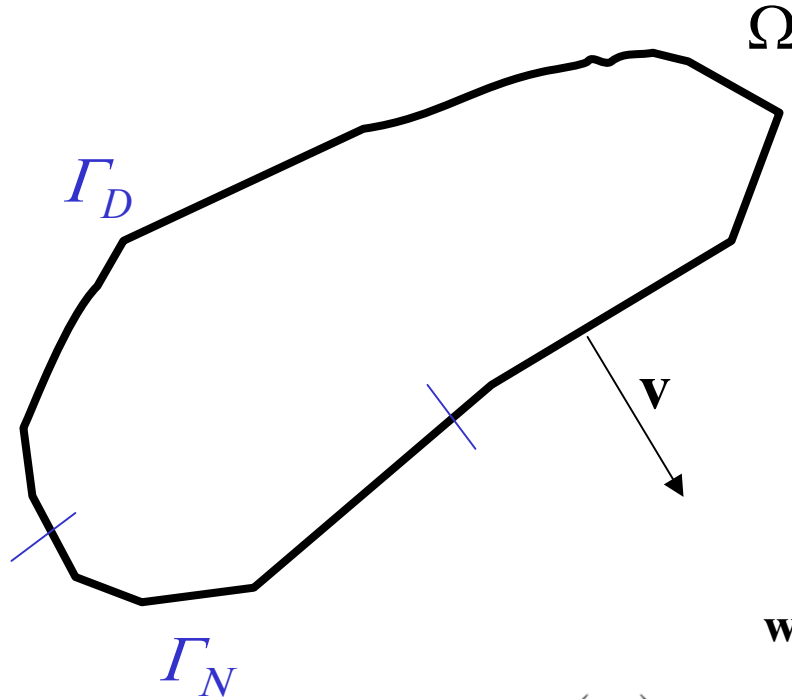
(poprzednio – przy warunkach
Dirichleta – wartość była super
pochodna taka sobie)

2 elementy
gdy więcej?

Wynik: prawy warunek brzegowy Neumanna



Metoda elementów skończonych, problemy dwuwymiarowe



problem modelowy:

$$-\nabla^2 u + a_0 u = f \quad \Big| \quad \text{w } \Omega$$

warunki brzegowe:

$$\begin{aligned} u(x) &= g_D(x) \quad \Big| \quad \text{na } \Gamma_D && \text{Dirichleta} \\ \frac{\partial u}{\partial \nu} &= g_N(x) \quad \Big| \quad \text{na } \Gamma_N && \text{Neumanna} \end{aligned}$$

problem ma jednoznaczne rozwiązanie, jeśli
brzeg Γ_D nie ma zerowej długości.

gdyby na brzegu tylko warunek Neumanna (na pochodną):
rozwiązanie będzie niejednoznaczne, bo stałą można
dodać do u nie zmieniając wartości pochodnej

*układ równań z macierzą sztywności w której
narzucono tylko warunek Neumanna - ? jak wygląda ?*

stara folia

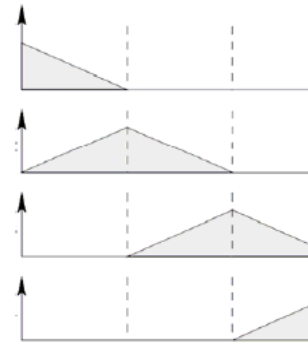
Warunki brzegowe: Neuman

$$u = \sum_{i=1}^n y_i v_i \Big|$$

$$v'_i(x) = \begin{cases} \frac{1}{x_i - x_{i-1}} & x \in K_i \\ -\frac{1}{x_{i+1} - x_i} & x \in K_{i+1} \\ 0 & x \notin K_i \cup K_{i+1} \end{cases}$$

$$u'(x) = \sum_j y_j v'_j(x)$$

$$u'(x = x_1) = C \Big|$$



tylko v_1 oraz v_2 wnoszą przyczynek do pochodnej
na lewym końcu:

$$u'(x_1) = -y_1 \frac{1}{x_2 - x_1} + y_2 \frac{1}{x_2 - x_1} = \frac{y_2 - y_1}{x_2 - x_1} \Big|$$

pierwszy wiersz macierzy S

$(-1/h_2 \ 1/h_2 \ 0 \ 0 \ 0 \ \dots)$ prawa strona pierwszy wiersz F : C

stara folia

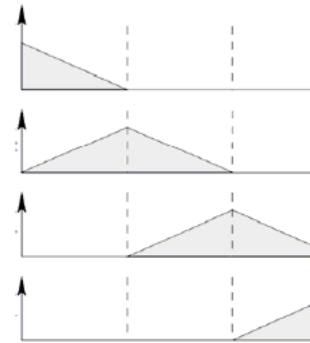
Warunki brzegowe: Neuman

$$u = \sum_{i=1}^n y_i v_i \Big|$$

$$v'_i(x) = \begin{cases} \frac{1}{x_i - x_{i-1}} & x \in K_i \\ -\frac{1}{x_{i+1} - x_i} & x \in K_{i+1} \\ 0 & x \notin K_i \cup K_{i+1} \end{cases}$$

$$u'(x) = \sum_j y_j v'_j(x)$$

$$u'(x = x_1) = C \Big|$$



tylko v_1 oraz v_2 wnoszą przyczynek do pochodnej
na lewym końcu:

$$u'(x_1) = -y_1 \frac{1}{x_2 - x_1} + y_2 \frac{1}{x_2 - x_1} = \frac{y_2 - y_1}{x_2 - x_1} \Big|$$

taki pierwszy wiersz dostaniemy ze
składania macierzy lokalnych
w równaniu $u''(x) = -\rho(x)$

pierwszy wiersz macierzy S

$(-1/h_2 \ 1/h_2 \ 0 \ 0 \ 0 \ \dots)$ prawa strona pierwszy wiersz F : C

stara folia

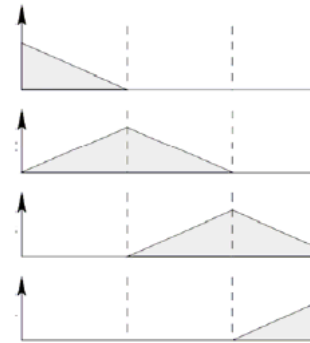
Warunki brzegowe: Neuman

$$u = \sum_{i=1}^n y_i v_i \Big|$$

$$v'_i(x) = \begin{cases} \frac{1}{x_i - x_{i-1}} & x \in K_i \\ -\frac{1}{x_{i+1} - x_i} & x \in K_{i+1} \\ 0 & x \notin K_i \cup K_{i+1} \end{cases}$$

$$u'(x) = \sum_j y_j v'_j(x)$$

$$u'(x = x_1) = C \Big|$$



tylko v_1 oraz v_2 wnoszą przyczynek do pochodnej na lewym końcu:

$$u'(x_1) = -y_1 \frac{1}{x_2 - x_1} + y_2 \frac{1}{x_2 - x_1} = \frac{y_2 - y_1}{x_2 - x_1} \Big|$$

taki pierwszy wiersz dostaniemy ze składania macierzy lokalnych w równaniu $u''(x) = -\rho(x)$

pierwszy wiersz macierzy S


$(-1/h_2 \ 1/h_2 \ 0 \ 0 \ 0 \ \dots)$ prawa strona pierwszy wiersz F : C

warunek Neumanna = tzw. naturalny wb (*natural bc*)

naturalny bo:
nie zmienia macierzy sztywności

weźmy z lewej strony warunek naturalny, z prawej Dirichleta

macierz sztywności po złożeniu i narzuceniu war.b. dla funkcji liniowych i trzech węzłów w 1D :

$$\begin{pmatrix} -\frac{1}{h_2} & \frac{1}{h_2} & 0 \\ \frac{1}{h_2} & \left(-\frac{1}{h_2} - \frac{1}{h_3}\right) & \frac{1}{h_3} \\ 0 & 0 & 1 \end{pmatrix} \mathbf{c} = \begin{pmatrix} \text{pochodna na lewym końcu} \\ F_2 \\ \text{wartość na prawym końcu} \end{pmatrix}$$


warunek Dirichleta wymaga interwencji w macierz sztywności
w.D.= istotny warunek brzegowy (*essential BC*)

$$\det = 1/h_2 h_3$$

weźmy warunek naturalny, z obu stron

$$\begin{pmatrix} -\frac{1}{h_2} & \frac{1}{h_2} & 0 \\ \frac{1}{h_2} & \left(-\frac{1}{h_2} - \frac{1}{h_3}\right) & \frac{1}{h_3} \\ 0 & \frac{1}{h_3} & -\frac{1}{h_3} \end{pmatrix} \mathbf{c} = \begin{pmatrix} \text{pochodna na lewym końcu} \\ F_2 \\ \text{pochodna na prawym końcu} \end{pmatrix}$$

$$\det = -\frac{1}{h_2} \frac{1}{h_3} \left(\frac{1}{h_2} + \frac{1}{h_3} \right) + \frac{1}{h_2} \frac{1}{h_3} \frac{1}{h_3} + \frac{1}{h_3} \frac{1}{h_2} \frac{1}{h_2}$$

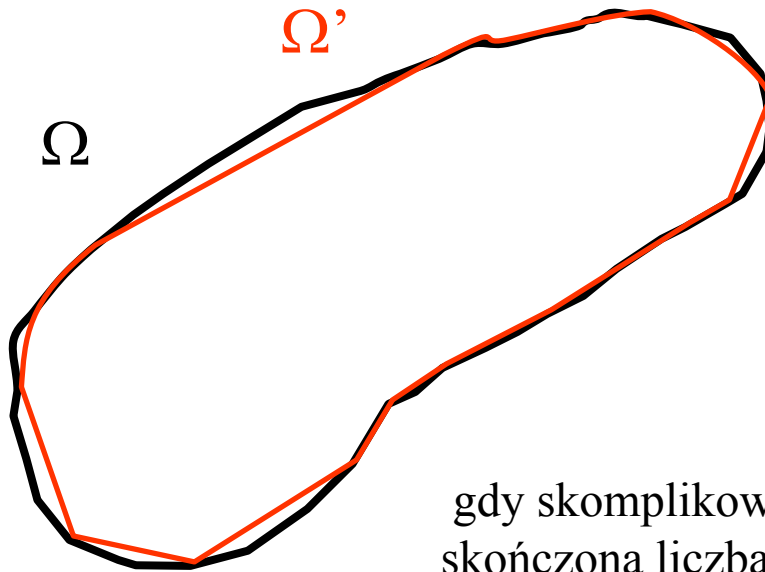
weźmy warunek naturalny, z obu stron

$$\begin{pmatrix} -\frac{1}{h_2} & \frac{1}{h_2} & 0 \\ \frac{1}{h_2} & \left(-\frac{1}{h_2} - \frac{1}{h_3}\right) & \frac{1}{h_3} \\ 0 & \frac{1}{h_3} & -\frac{1}{h_3} \end{pmatrix}$$

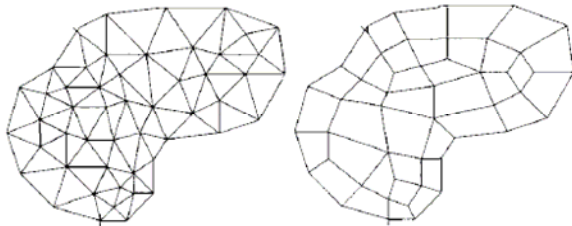
$$\det = -\frac{1}{h_2} \frac{1}{h_3} \left(\frac{1}{h_2} + \frac{1}{h_3} \right) + \frac{1}{h_2} \frac{1}{h_3} \frac{1}{h_3} + \frac{1}{h_3} \frac{1}{h_2} \frac{1}{h_2}$$

macierz sztywności po złożeniu jest osobliwa!
UR nie ma jednoznacznego rozwiązania !

Przybliżenie brzegu



gdy skomplikowany brzeg:
skończona liczba elementów
(trójkątów, czworokątów itp)
opisuje problem tylko w sposób
przybliżony
= przybliżone warunki brzegowe



gdy brzeg opisany funkcją wielomianową
problem można opisać przypisać za pomocą
skończonej liczby elementów krzywoliniowych

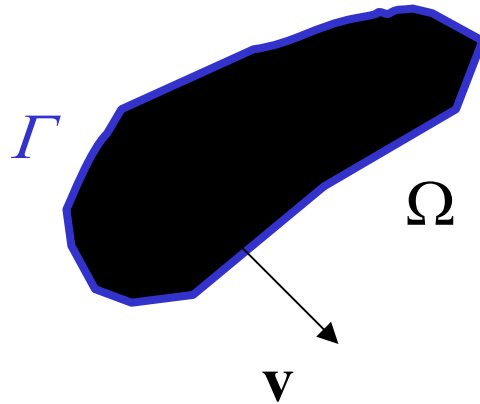
$$-\nabla^2 u + a_0 u = f$$

Słabe sformułowanie problemu z funkcją wagową $w(x)$

$$\int_{\Omega} (-\nabla^2 u + a_0 u) w(x) d\Omega = \int_{\Omega} f(x) w(x) d\Omega$$

całkowanie macierzy sztywności

całkowanie przez części, 2 i więcej wymiary



Tw. Gaussa

$$\int_{\Gamma} \mathbf{A} \cdot d\Gamma = \int_{\Omega} \nabla \cdot \mathbf{A} d\Omega$$

strumień pola wektorowego przez zamkniętą powierzchnię = dywergencja pola wewnątrz objętości ograniczonej powierzchnią

a,b – dwie funkcje skalarne

tożsamość:

$$\int_{\Gamma} \mathbf{A} \cdot d\Gamma = \int_{\Omega} \nabla \cdot \mathbf{A} d\Omega$$

$$\nabla \cdot (a \nabla b) = a \nabla^2 b + (\nabla a) \cdot (\nabla b) \Big|$$

scalać po objętości

$$\int_{\Omega} \nabla \cdot (a \nabla b) d\Omega = \int_{\Gamma} a \nabla b d\Gamma$$

$$\int_{\Gamma} a \nabla b d\Gamma = \int_{\Omega} a \nabla^2 b d\Omega + \int_{\Omega} \nabla a \cdot \nabla b d\Omega \Big|$$

całkowanie przez części
w 2D

W 1D

$$a \frac{db}{dx} \Big|_{x=x_1}^{x=x_2} = \int_{x_1}^{x_2} a \frac{d^2 b}{dx^2} dx + \int_{x_1}^{x_2} \frac{da}{dx} \frac{db}{dx} dx$$

całka brzegowa w 1D: brzeg składa się z dwóch punktów

wracamy do słabej formy równania różniczkowego

$$\int_{\Omega} \left(-\nabla^2 u + a_0 u \right) w(x) d\Omega = \int_{\Omega} f(x) w(x) d\Omega \quad \Big|$$

całkowanie przez części:

$$\int_{\Gamma} a \nabla b d\Gamma = \int_{\Omega} a \nabla^2 b d\Omega + \int_{\Omega} \nabla a \cdot \nabla b d\Omega \quad \Big|$$

$$- \int_{\Omega} (\nabla^2 u) w d\Omega = \int_{\Omega} (\nabla u) \cdot (\nabla w) d\Omega - \int_{\Gamma} (\nabla u) w d\Gamma \quad \Big|$$

redukuje rząd pochodnych

$$\int_{\Omega} (\nabla u \cdot \nabla w + a_0 u w) d\Omega = \int_{\Omega} f w d\Omega + \int_{\Gamma} w \nabla u d\Gamma \quad \Big|$$

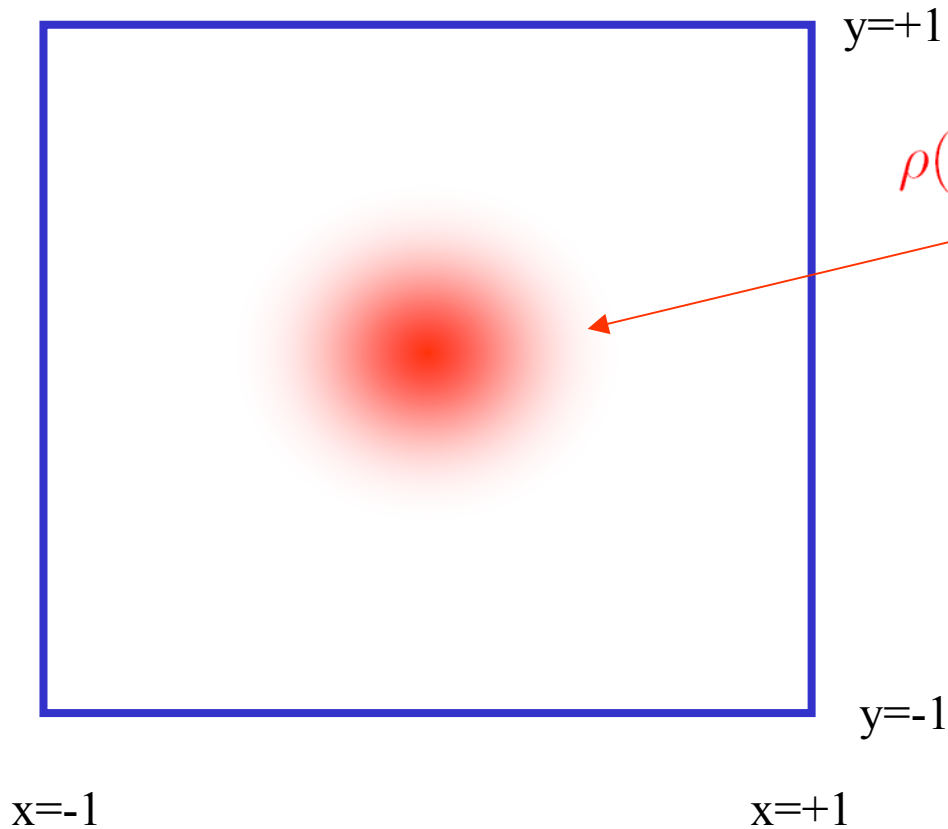
na części Γ : w. brzegowy na wartość u .

Całka po Γ znika jeśli $w(\text{na } \Gamma)=0$. U Galerkina – w takie jak funkcje bazowe.

Jeśli rozwiązanie u nie znika na brzegu, całka brzegowa istnieje i trzeba się z nią uporać. Z całkami tego typu walczyć będziemy w dalszej części wykładu, przy metodzie elementów brzegowych.

Pierwszy problem:

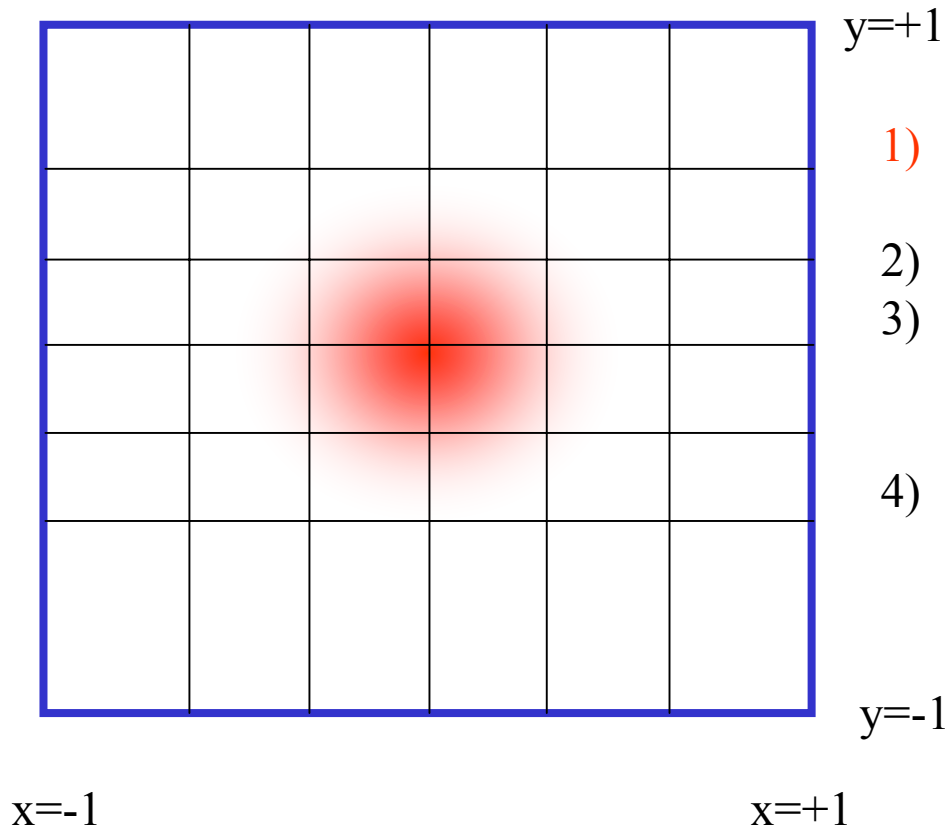
uziemia skrzynka potencjał $u=0$



$$\rho(x, y) = \exp(-50(x^2 + y^2))$$

$$\nabla^2 u = -\rho(x, y)$$

Pierwszy problem:

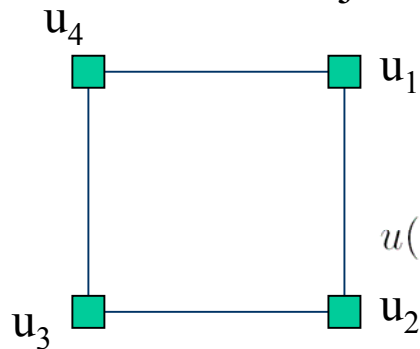


- 1) podzielić płaszczyznę na elementy (zaczniemy od czworokątnych el.)
- 2) wybrać funkcje kształtu
- 3) policzyć macierze sztywności i wektory obciążeń dla wszystkich elementów
- 4) złożyć globalną macierz sztywności i globalny wektor obciążeń

$$\nabla^2 u = -\rho(x, y) \quad \Big|$$

2) wybrać funkcje kształtu

najniższy rząd na kwadratowym elemencie:
biliniowe funkcje kształtu

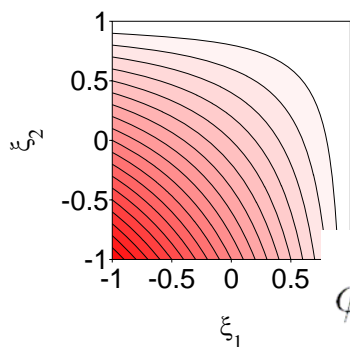


$$u(\xi_1, \xi_2) = u_1\phi_1(\xi_1, \xi_2) + u_2\phi_2(\xi_1, \xi_2) + u_3\phi_3(\xi_1, \xi_2) + u_4\phi_4(\xi_1, \xi_2)$$

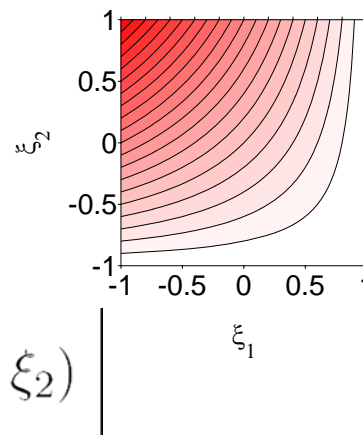
$$1D: \frac{x_{m-1} \quad x_m}{-1 \quad 1} \text{ element}$$

$$\phi_1 = 1/2 - 1/2 \xi$$

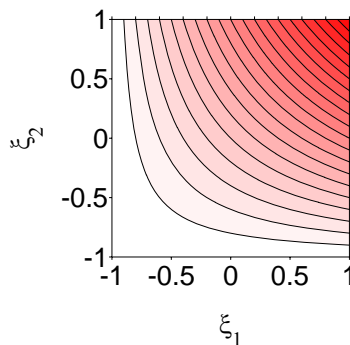
$$\phi_2 = 1/2 + 1/2 \xi$$



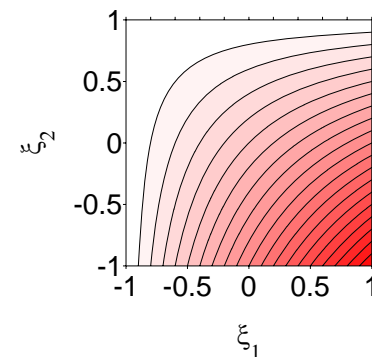
$$\phi_3(\xi_1, \xi_2) = \frac{1}{4}(1 - \xi_1)(1 - \xi_2)$$



$$\phi_4(\xi_1, \xi_2) = \frac{1}{4}(1 - \xi_1)(1 + \xi_2)$$

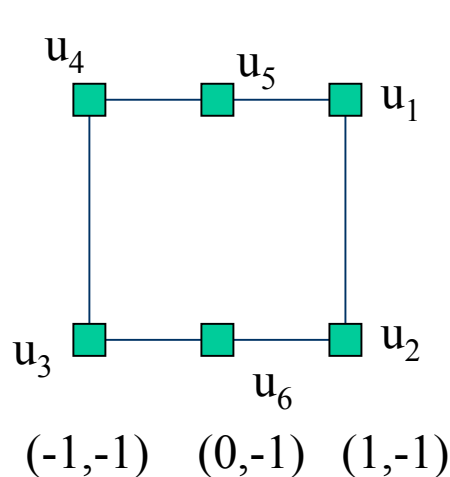


każda z funkcji kształtu:
osiąga wartość 1 w jednym z narożników
zeruje się w pozostałych



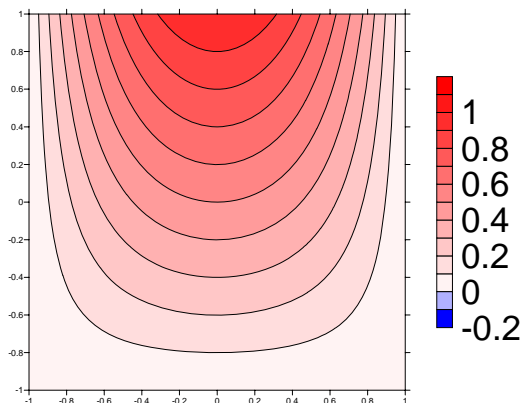
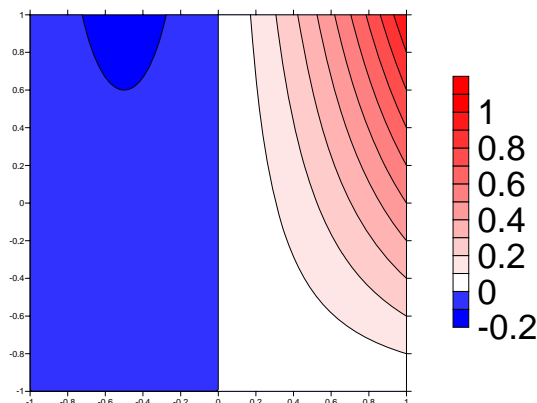
$$\phi_1(\xi_1, \xi_2) = \frac{1}{4}(1 + \xi_1)(1 + \xi_2) \quad \phi_2(\xi_1, \xi_2) = \frac{1}{4}(1 + \xi_1)(1 - \xi_2)$$

wyższego rzędu: iloczyny funkcji bazowych Lagrange'a w obydwu wymiarach
np. kwadratowe w x, liniowe w y



$$u(\xi_1, \xi_2) = \sum_{i=1}^6 u_i \phi_i(\xi_1, \xi_2)$$

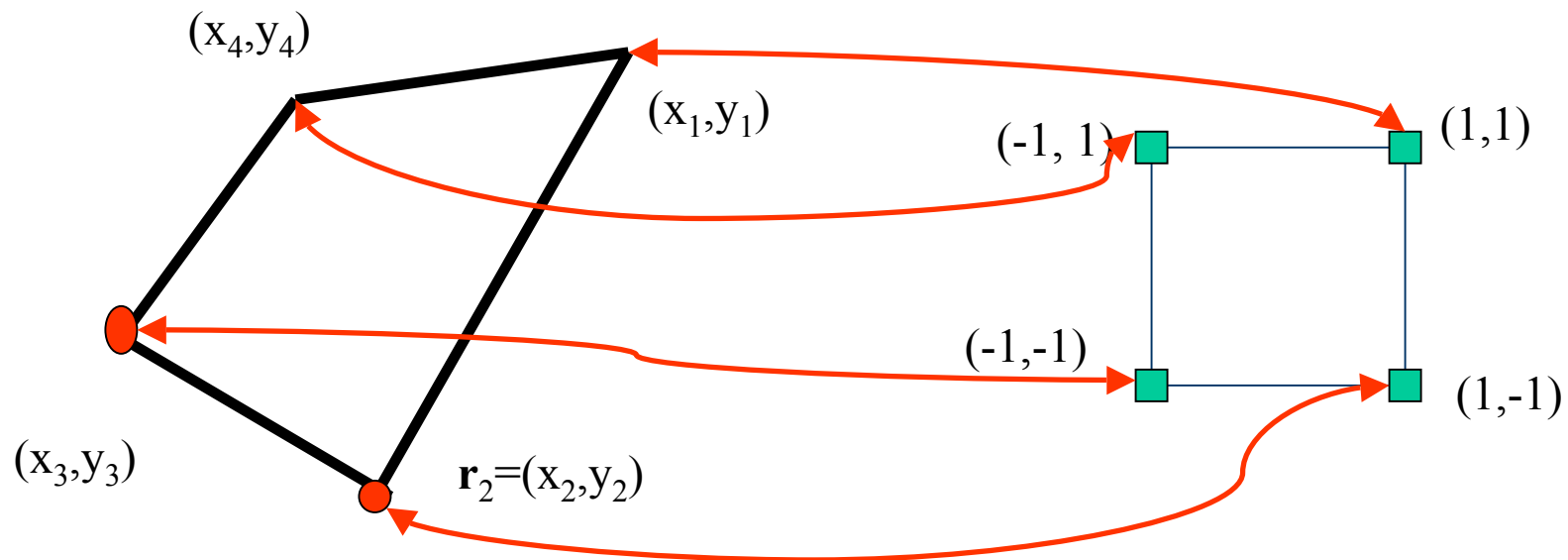
$$\phi_1(\xi_1, \xi_2) = \frac{1}{2}(\xi_2 + 1) \times \frac{(\xi_1)(\xi_1 + 1)}{2}$$



itd.

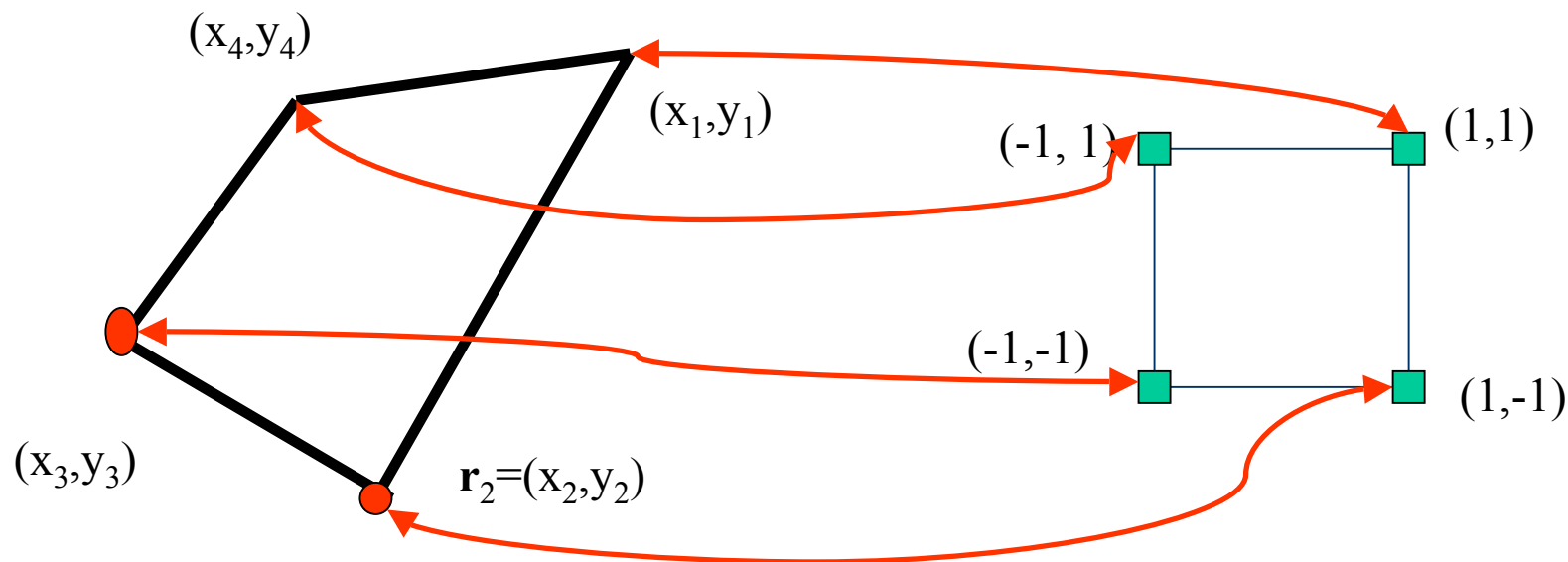
$$\phi_6(\xi_1, \xi_2) = -\frac{1}{2}(\xi_2 + 1) \times (\xi_1 - 1)(\xi_1 + 1)$$

3) transformacja elementu z przestrzeni referencyjnej



wzajemnie jednoznaczne mapowanie ??? Jak to zrobić?

3) transformacja elementu z przestrzeni referencyjnej



wzajemnie jednoznaczne mapowanie:??? Jak to zrobić? - zaskakująco łatwo

$$\mathbf{r}(\xi) = \sum_{i=1}^4 \mathbf{r}_i \phi_i(\xi) \quad \left| \quad \begin{pmatrix} x \\ y \end{pmatrix} = \sum_{i=1}^4 \begin{pmatrix} x_i \\ y_i \end{pmatrix} \phi_i(\xi_1, \xi_2) \right|$$

biliniowe funkcje kształtu (do mapowania zawsze, nawet gdy używane są później wyższe)

$$\phi_1(\xi_1, \xi_2) = \frac{1}{4}(1 + \xi_1)(1 + \xi_2)$$

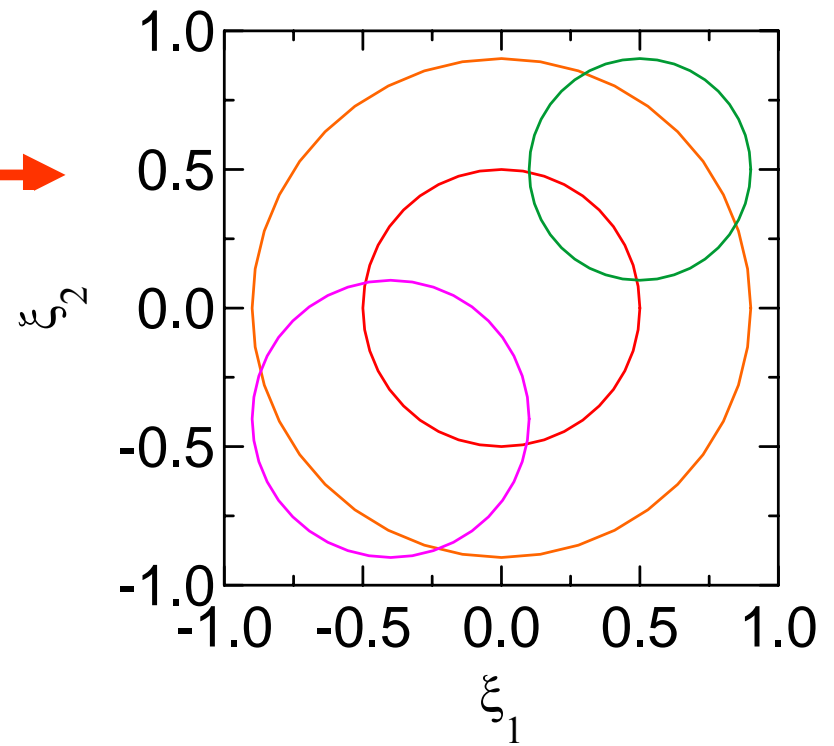
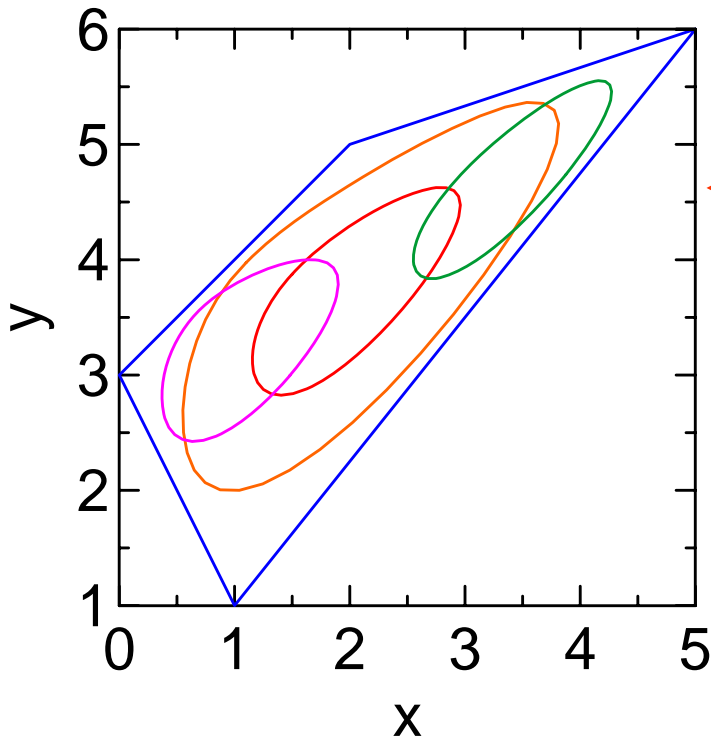
$$\phi_3(\xi_1, \xi_2) = \frac{1}{4}(1 - \xi_1)(1 - \xi_2)$$

$$\phi_2(\xi_1, \xi_2) = \frac{1}{4}(1 + \xi_1)(1 - \xi_2)$$

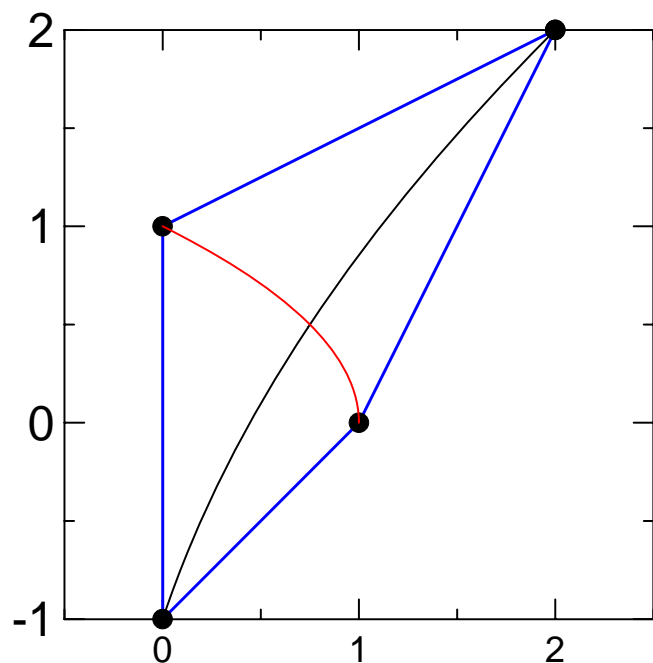
$$\phi_4(\xi_1, \xi_2) = \frac{1}{4}(1 - \xi_1)(1 + \xi_2)$$

$$\begin{pmatrix} x \\ y \end{pmatrix} = \sum_{i=1}^4 \begin{pmatrix} x_i \\ y_i \end{pmatrix} \phi_i(\xi_1, \xi_2)$$

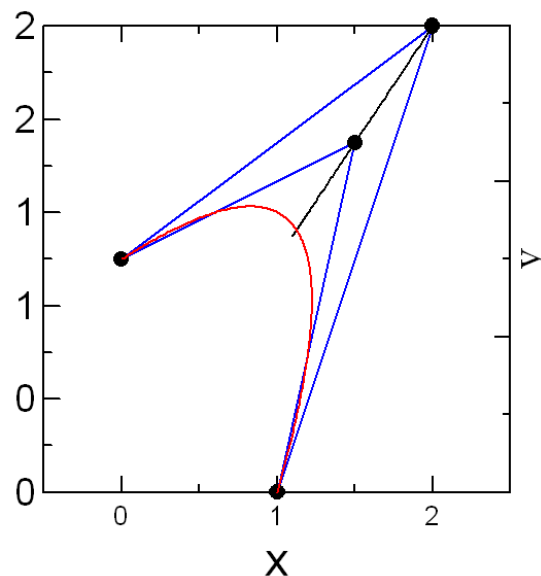
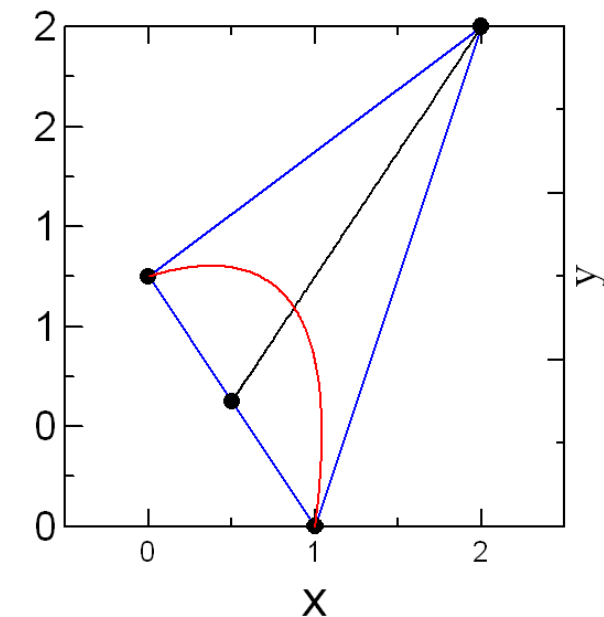
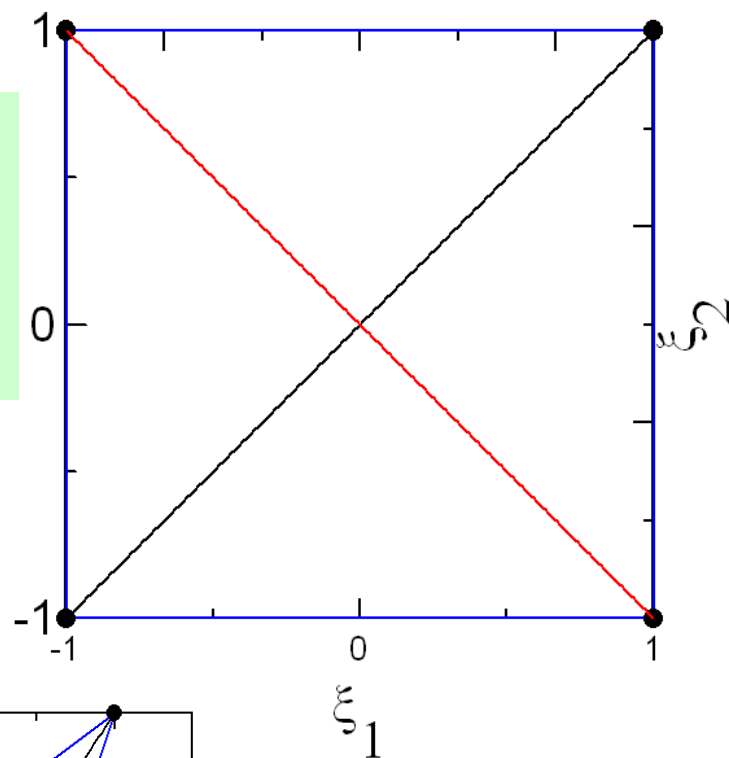
składanie narożników
: w każdym tylko 1 funkcja nie znika



co się dzieje z przekątnymi? transformacja elementu do przestrzeni referencyjnej

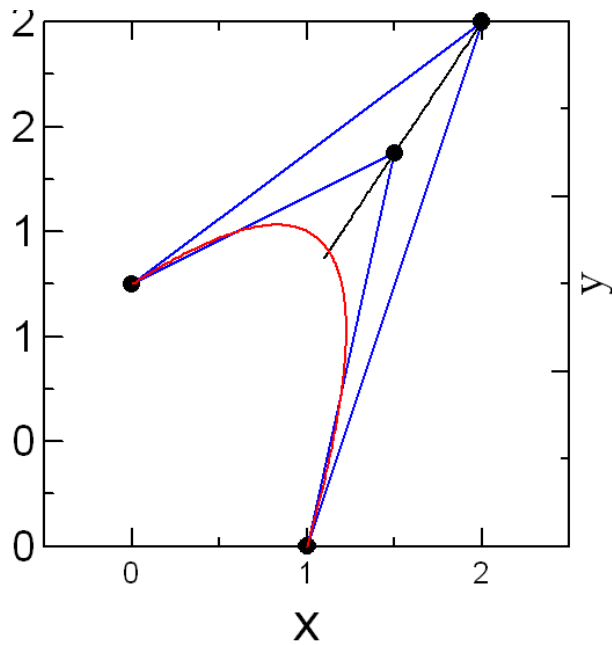
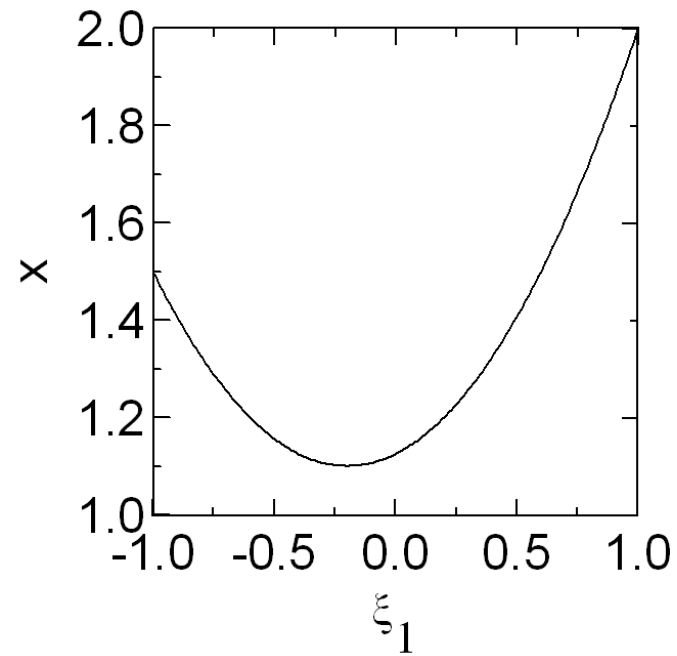
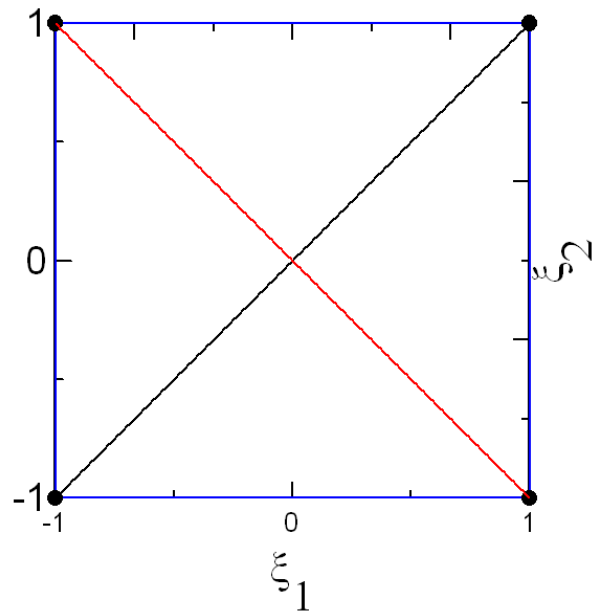


przekształcenie
nie jest liniowe i
nie zachowuje
równoległości
prostych



← element wklęsły
wewnątrz mapowane
na zewnątrz,
nie chcemy takich
elementów.
mają być wypukłe

element wklęsły niedobry -mapowanie nie jest bijekcją



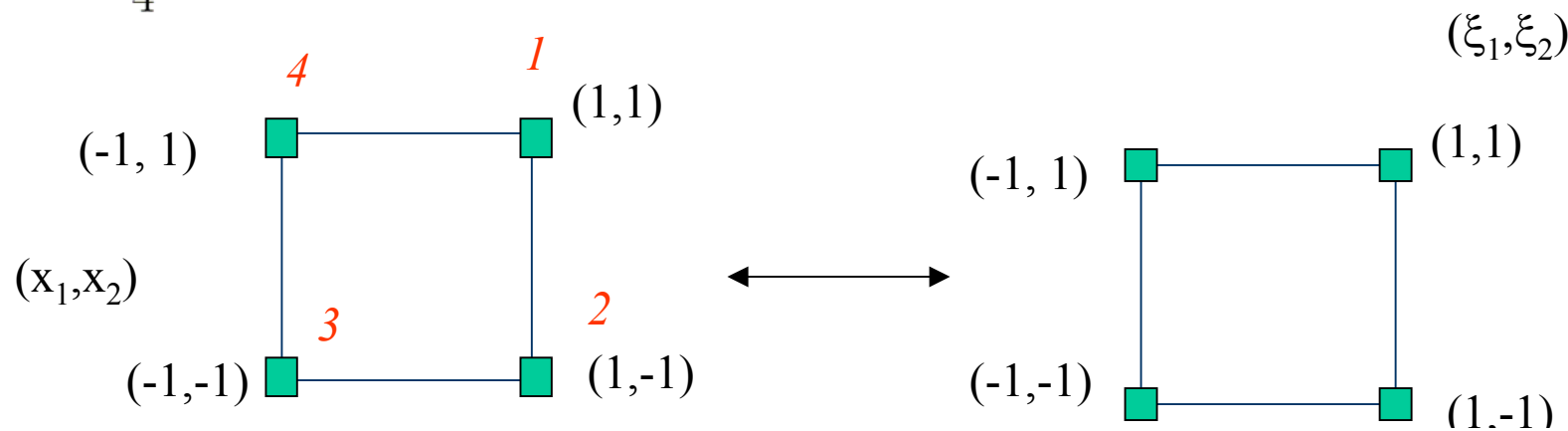
liczone wzdłuż antydiagonali

Mapowanie p. referencyjnej na fizyczną: przypadki szczególne 1. tożsamość

$$\begin{pmatrix} x \\ y \end{pmatrix} = \sum_{i=1}^4 \begin{pmatrix} x_i \\ y_i \end{pmatrix} \phi_i(\xi_1, \xi_2) \quad \Bigg|$$

$$\phi_1(\xi_1, \xi_2) = \frac{1}{4}(1 + \xi_1)(1 + \xi_2) \quad \phi_3(\xi_1, \xi_2) = \frac{1}{4}(1 - \xi_1)(1 - \xi_2)$$

$$\phi_2(\xi_1, \xi_2) = \frac{1}{4}(1 + \xi_1)(1 - \xi_2) \quad \phi_4(\xi_1, \xi_2) = \frac{1}{4}(1 - \xi_1)(1 + \xi_2)$$



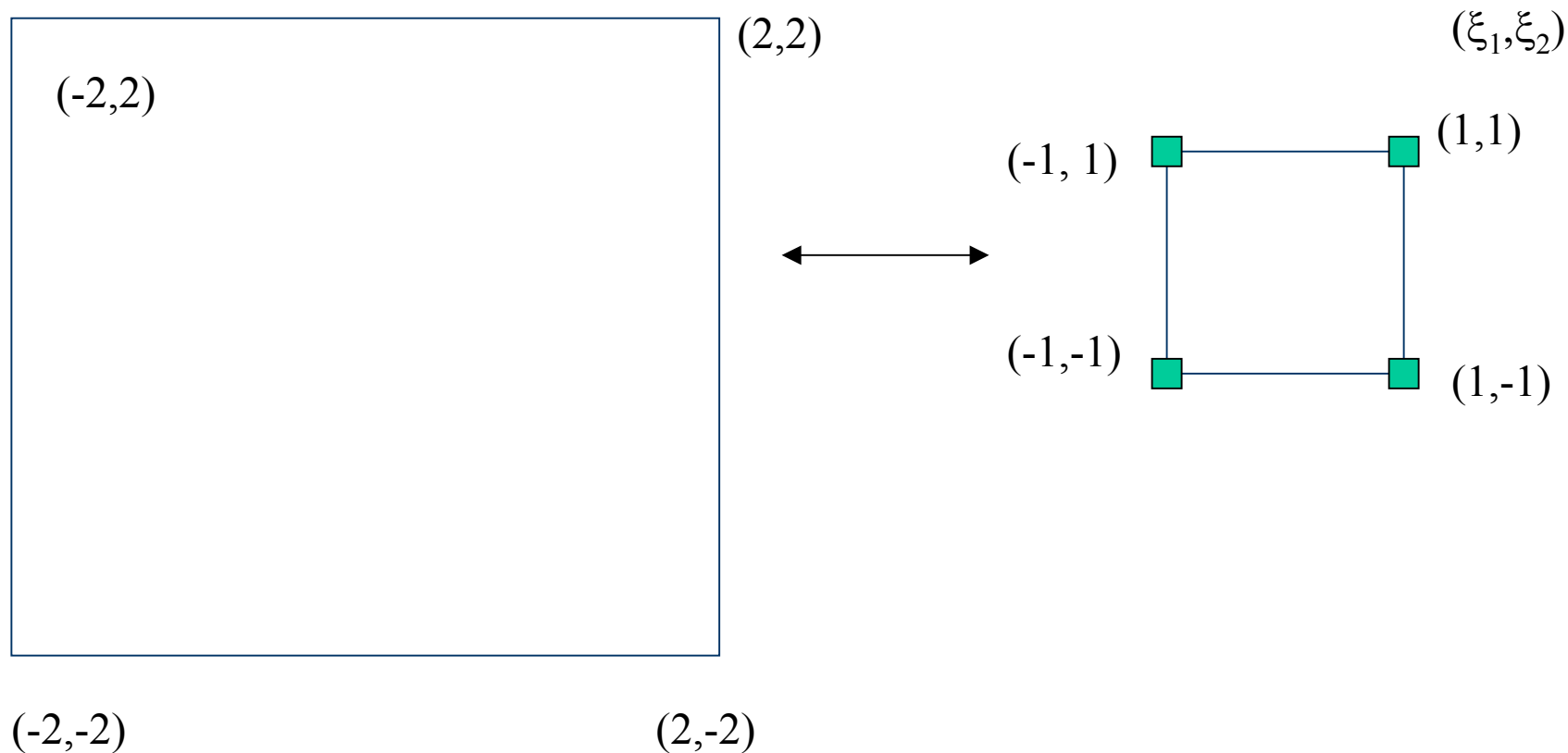
$$x = \frac{1}{4} [(1 + \xi_1)(1 + \xi_2) + (1 + \xi_1)(1 - \xi_2) - (1 - \xi_1)(1 - \xi_2) - (1 - \xi_1)(1 + \xi_2)] \quad \Bigg|$$

$$x = \frac{1}{4} [2(1 + \xi_1) - 2(1 - \xi_1)] = \xi_1 \quad \Bigg|$$

$$y = \frac{1}{4} [(1 + \xi_1)(1 + \xi_2) - (1 + \xi_1)(1 - \xi_2) - (1 - \xi_1)(1 - \xi_2) + (1 - \xi_1)(1 + \xi_2)]$$

$$y = \frac{1}{4} [2(1 + \xi_2) - 2(1 - \xi_2)] = \xi_2 \quad \Bigg|$$

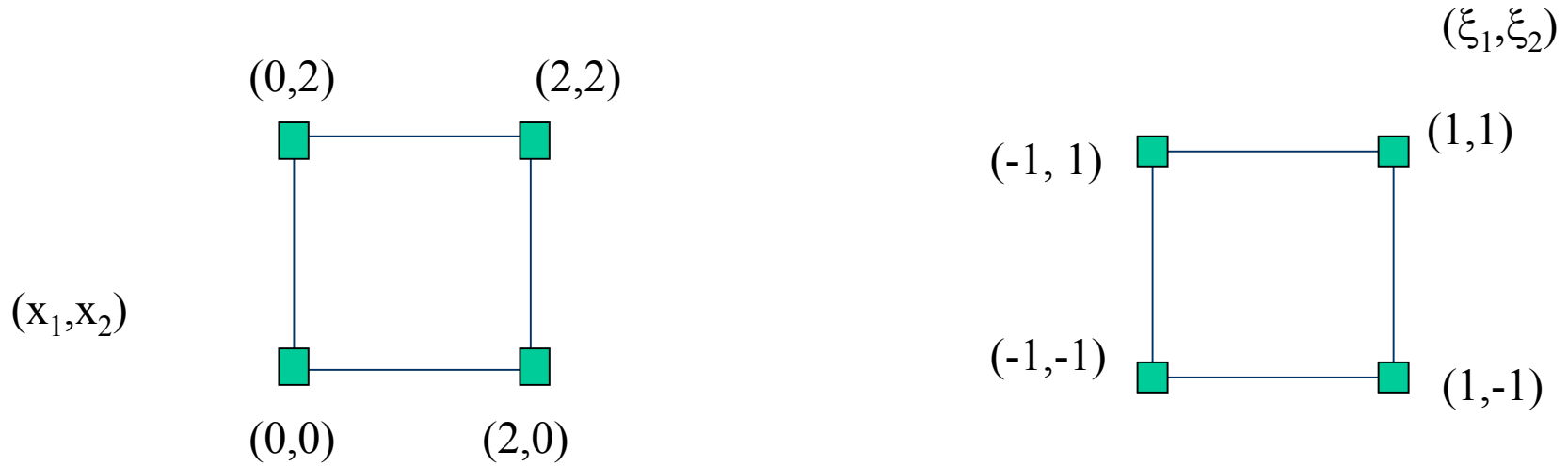
Mapowanie p. referencyjnej na fizyczną: przypadki szczególne 2 powiększenie



$$\begin{aligned} x &= 2\xi_1 \\ y &= 2\xi_2 \end{aligned}$$

$$\begin{pmatrix} x \\ y \end{pmatrix} = \sum_{i=1}^4 \begin{pmatrix} x_i \\ y_i \end{pmatrix} \phi_i(\xi_1, \xi_2)$$

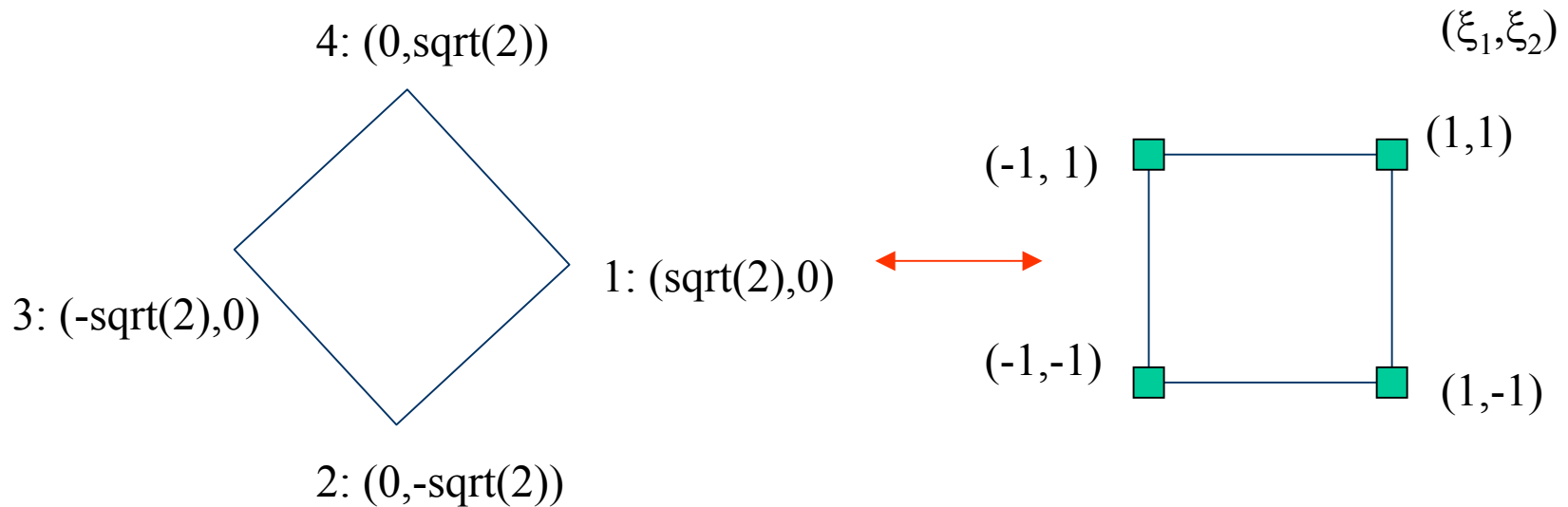
Mapowanie p. referencyjnej na fizyczną: przypadki szczególne 3 przesunięcie



$$x = \frac{1}{4} [2(1 + \xi_1)(1 + \xi_2) + 2(1 + \xi_1)(1 - \xi_2)] = \xi_1 + 1$$

$$y = \frac{1}{4} [2(1 + \xi_1)(1 + \xi_2) + 2(1 - \xi_1)(1 + \xi_2)] = \xi_2 + 1$$

Mapowanie p. referencyjnej na fizyczną: przypadki szczególne 4 obrót



$$\begin{aligned} x &= \frac{1}{4} \left(\sqrt{2}(1 + \xi_1)(1 + \xi_2) - \sqrt{2}(1 - \xi_1)(1 - \xi_2) \right) & x &= \frac{\sqrt{2}}{2} (\xi_1 + \xi_2) \\ y &= \frac{1}{4} \left(-\sqrt{2}(1 + \xi_1)(1 - \xi_2) + \sqrt{2}(1 - \xi_1)(1 + \xi_2) \right) & y &= \frac{\sqrt{2}}{2} (-\xi_1 + \xi_2) \end{aligned}$$

$$\begin{pmatrix} x \\ y \end{pmatrix} = \begin{pmatrix} \cos(\theta) & -\sin(\theta) \\ \sin(\theta) & \cos(\theta) \end{pmatrix} \begin{pmatrix} \xi_1 \\ \xi_2 \end{pmatrix} \quad \theta = -\pi/4$$

Macierz sztywności-całkowanie w przestrzeni referencyjnej

$$f = -\rho(x, y)$$

bo warunki brzegowe

$$\int_{\Omega} (\nabla u \cdot \nabla w + \cancel{a_0 u w}) d\Omega = \int_{\Omega} f w d\Omega + \int_{\Gamma} \cancel{w \nabla u} d\Gamma \quad \left| \begin{array}{l} \text{bo tego wyrazu nie ma w równaniu (Poissona)} \end{array} \right.$$

$$u(\xi_1, \xi_2) = \sum_{i=1}^m u_i \phi_i(\xi_1, \xi_2)$$

$$\text{Galerkin: } w = \phi_j(\xi_1, \xi_2)$$

do macierzy sztywności

$$\nabla \phi_i \cdot \nabla \phi_j = \frac{\partial \phi_i}{\partial x} \frac{\partial \phi_j}{\partial x} + \frac{\partial \phi_i}{\partial y} \frac{\partial \phi_j}{\partial y}$$

$$\frac{\partial \phi_i}{\partial x} = \frac{\partial \phi_i}{\partial \xi_1} \frac{\partial \xi_1}{\partial x} + \frac{\partial \phi_i}{\partial \xi_2} \frac{\partial \xi_2}{\partial x}$$

$$\nabla \phi_i \cdot \nabla \phi_j = \left(\sum_k \frac{\partial \phi_i}{\partial \xi_k} \frac{\partial \xi_k}{\partial x} \right) \times \left(\sum_k \frac{\partial \phi_j}{\partial \xi_k} \frac{\partial \xi_k}{\partial x} \right) + \left(\sum_k \frac{\partial \phi_i}{\partial \xi_k} \frac{\partial \xi_k}{\partial y} \right) \times \left(\sum_k \frac{\partial \phi_j}{\partial \xi_k} \frac{\partial \xi_k}{\partial y} \right)$$